# Boletim Técnico da Escola Politécnica da USP Departamento de Engenharia de Telecomunicações e Controle

ISSN 1517-3550

BT/PTC/0405

Técnicas de Seleção de Variáveis de Entrada para Identificação da Concentração de Amônia de uma Planta de Tratamento de Efluentes Utilizando Modelos NARX Polinomiais

Rosimeire Aparecida Jerônimo Claudio Garcia

São Paulo - 2004

1442527

O presente trabalho é um resumo da tese de doutorado apresentada por Rosimeire Aparecida Jerônimo, sob orientação do Prof. Dr. Claudio Garcia: "Técnicas de Seleção de Variáveis de Entrada para Identificação da Concentração de Amônia de uma Planta de Tratamento de Efluentes Utilizando Modelos NARX Polinomiais", defendida em 26/03/04, na Escola Politécnica.

A íntegra da tese encontra-se à disposição com o autor e na Biblioteca de Engenharia de Eletricidade da Escola Politécnica/USP.

#### FICHA CATALOGRÁFICA

Jerônimo, Rosimeire Aparecida

Técnicas de seleção de variáveis de entrada para identificação da concentração de amônia de uma planta de tratamento de efluentes utilizando modelos NARX polinomiais / Rosimeire Aparecida Jerônimo, Claudio Garcia. -- São Paulo: EPUSP, 2004.

21 p. – (Boletim Técnico da Escola Politécnica da USP, Departamento de Engenharia de Telecomunicações e Controle ; BT/PTC/0405)

1. Sistemas a várias entradas e saídas 2. Identificação (Teoria de sistemas e controle) 3. Efluentes (Tratamento) I. Garcia, Claudio II. Universidade de São Paulo. Escola Politécnica. Departamento de Engenharia de Telecomunicações e Controle III. Título IV. Série ISSN 1517-3550 CDD 629.83

003.1 628.362

## Técnicas de Seleção de Variáveis de Entrada para Identificação da Concentração de Amônia de uma Planta de Tratamento de Efluentes Utilizando Modelos NARX Polinomiais

Rosimeire Aparecida Jerônimo<sup>1</sup>, Claudio Garcia<sup>1</sup>

<sup>1</sup>Laboratório de Automação e Controle Departamento de Telecomunicações e Controle

Resumo. Neste trabalho é proposta uma ferramenta para selecionar variáveis de entrada em identificação de sistemas. Tal ferramenta se baseia em análise de Funções de Correlação (FC). O método aqui proposto é comparado com outros dois métodos já apresentados na literatura, sendo a saber, Efetividade de Entrada e Projeção (EEP) e Análise de Componentes Principais (PCA). Estes métodos são aplicados para selecionar as variáveis de entrada relevantes dentre um conjunto de 15 variáveis candidatas a entrada de uma planta simulada de tratamento biológico de efluentes. Esta planta é identificada utilizando-se modelos MISO para a variável de saída, a saber, concentração de amônia ( $S_{\rm NH_3}$ ). O procedimento de identificação e estimação de parâmetros foi realizado utilizando-se modelos NARX polinomiais.

Abstract. This work puts forward a tool to select input variables in system identification. Such tool is based on analysis of Correlation Functions (FC). The proposed method is compared with two other methods that have already been presented in literature, which are: Input Effectiveness and Projection (EEP) and Principal Component Analysis (PCA). These methods are applied to select the relevant variables among a set of 15 candidates for input of a biological effluent treatment plant. One output variable MISO models - concentration of ammonia  $(S_{NH_3})$  - were used to identify this plant. The procedure of identification and estimation of parameters was accomplished using polynomial NARX models.

## 1. Introdução

É comum ouvir que a *Identificação de Sistemas* ainda é uma *arte*. De fato, vários aspectos da identificação de um sistema real envolvem decisões e escolhas subjetivas. Alguns desses aspectos dizem respeito ao projeto de testes, à escolha da estrutura do modelo e à determinação da taxa de amostragem (Aguirre, 2000).

Em problemas do mundo real, para obtenção de modelos não-lineares, pode haver várias entradas disponíveis para uso. Porém, um problema comum é que não se sabe qual ou quais entradas são necessárias para o modelo, de forma que ele possa representar, dinamicamente bem, o processo em estudo. O aumento de variáveis de entrada no procedimento de identificação faz com que se obtenha um modelo muito complexo tanto na dimensionalidade como também no processo computacional.

A principal proposta deste trabalho se baseia no desenvolvimento de métodos estatísticos para auxílio na seleção de variáveis de entrada em identificação de sistemas. Neste trabalho são apresentadas três técnicas para selecionar variáveis de entrada: Efetividade de Entrada e Projeção (EEP), Análise de Componentes Principais (PCA) e Funções de Correlação (FC). As duas primeiras são técnicas apresentadas na literatura. A terceira, pouco descrita na literatura, aparece, por exemplo, em (Aguirre, 2000), o qual menciona, de forma pouco detalhada, a seleção de variáveis de entrada usando funções de correlação. Nesse sentido, o presente trabalho teve como principal objetivo a busca de requisitos de seleção de variáveis de entrada baseando-se em funções de correlação.

Foram consideradas, neste trabalho, uma técnica de identificação, a fim de avaliar a eficiência dos modelos obtidos pelos critérios de seleção de variáveis de entrada. A técnica considerada se baseou em funções polinomiais (NARX). A técnica de identificação implementada nesta pesquisa será aplicada a um modelo de referência ("Benchmark") de uma planta de tratamento biológico de efluentes implementado em SIMULINK/MATLAB (Sotomayor et al.,

1999), (Sotomayor et al., 2001). O "Benchmark" representa um processo de lodo ativado, em uma configuração com pré-desnitrificação, incluindo os processos de remoção de matéria orgânica, nitrificação e desnitrificação de efluentes domésticos. As simulações serão realizadas empregando-se programas a serem desenvolvidos em MATLAB e fazendo-se uso também do SIMULINK.

#### 2. O Processo ASWWTP-USP Benchmark

O modelo de referência utilizado na aplicação deste trabalho é denominado (ASWWTP-USP ( $Activated\ Sludge\ Wastewater\ Treatment\ Plant\ -\ University\ of\ São\ Paulo)\ benchmark$ ), implementado por Oscar Sotomayor. Este modelo de referência, desenvolvido para a simulação dinâmica de um processo de tratamento biológico de esgotos domésticos por lodo ativado foi implementado em ambiente  $MATLAB^{TM}/Simulink\ (http://www.mathworks.com)$ .

Este modelo de referência representa um processo de lodo ativado em uma configuração de fluxo contínuo com pré-desnitrificação, para remoção de matéria orgânica e nitrogênio de esgotos domésticos, operando a uma temperatura constante de 15°C e pH neutro. Este modelo de referência é uma descrição geral de um protocolo de simulação padrão que inclui o arranjo físico da estação, os modelos fenomenológicos usados, os parâmetros destes modelos, as características do esgoto, as condições iniciais de simulação, um procedimento para teste em malha aberta do comportamento dinâmico do processo e critérios para avaliação do desempenho do sistema controlado.

Na figura 1 é mostrado um diagrama esquemático de um ASP (Processo de Lodo Ativado).

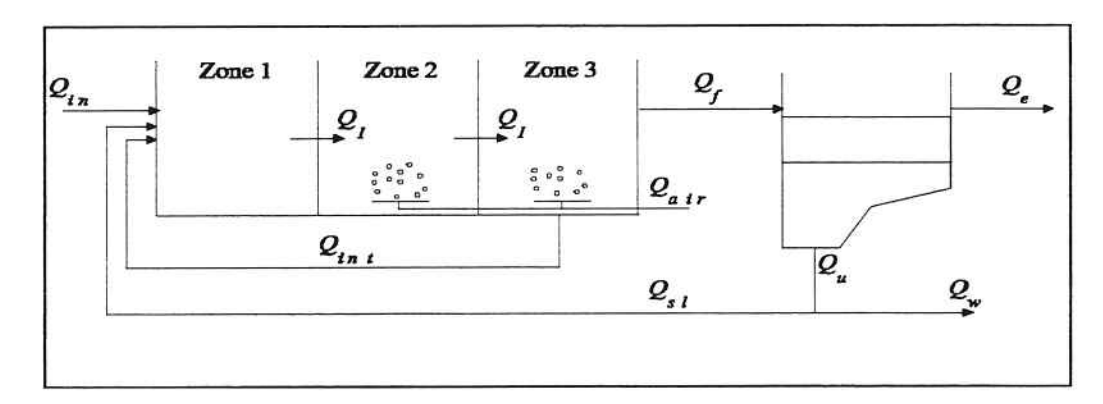


Figura 1: Processo de Lodo Ativado composto de um Bioreator e um Sedimentador

A configuração do processo considerada no ASWWTP-USP benchmark, conforme foi apresentada na figura 1, é formada por um bioreator em série com um sedimentador secundário. O bioreator é composto por uma zona anóxica (zona 1 com volume de 13  $m^3$ ) e duas zonas aeróbicas (zonas 2 e 3 com volumes de 18  $m^3$  e 20  $m^3$ , respectivamente), enquanto que o sedimentador secundário tem um volume de 20  $m^3$ . Em condições de operação nominal e de estado estacionário, a vazão afluente de esgoto é  $Q_{in}=4,17~m^3/h$  com um valor médio de DQO (Demanda Química de Oxigênio) total de 284 mg/l e N total de 45,88 mg/l. O tempo de retenção hidráulica é de 17 horas (baseado no volume total, isto é, bioreator + sedimentador secundário). A vazão de reciclo interno ou retorno de licor misto (lodo mais água tratada, vazão rica em nitrato que vem da zona 3 à zona 1 do bioreator) é  $Q_{int}=2Q_{in}$ , a vazão de reciclo externo ou retorno de lodo (vazão de lodo que vem do sedimentador secundário à zona 1 do bioreator) é  $Q_{sl}=0,5Q_{in}$ , e a vazão de descarte de lodo é  $Q_w=25,8~l/h$ . As vazões de injeção de ar para as zona 2 e 3 são  $Q_{ar_2}=44~l/h$  e  $Q_{ar_3}=33~l/h$ , respectivamente. Na zona 1, por ser uma zona anóxica, não há aeração (Sotomayor, 2002).

As variáveis de estado consideradas no modelo de referência  $IAWQ^1\ N^o\ 1$  são dadas na tabela 1.

<sup>&</sup>lt;sup>1</sup>A IAWQ(International Association on Water Quality) no passado era conhecida como IAWPRC (International Association on Water Pollution Research and Control). Maiores informações sobre a IAWQ podem ser acessadas no site: http://www.iawq.org.uk/

Tabela 1: Estados incluídos no Modelo IAWQ Nº 1

Concentração	Z
Elementos Particulados	X
Biomassa heterotrófica ativa	$X_{BH}$
Biomassa autotrófica ativa	$X_{BA}$
Substrato biodegradável	$X_S$
Nitrogênio orgânico biodegradável	$X_{ND}$
Nitrogênio orgânico biodegradável Produtos particulados inerte	$X_{IP}$
Matéria orgânica inerte	$X_I$
Elementos solúveis	S
Oxigênio dissolvido	So
Nitrogênio (Amônio + Amônia)	$S_{NH}$
Nitrogênio orgânico biodegradável	$S_{ND}$
Nitrogênio (Nitrato e Nitrito)	SNO
Substrato biodegradável	$S_S$
Matéria orgânica inerte	$S_I$
Alcalinidade	SALK

A tabela 2 apresenta os parâmetros dos valores médios de fluxos, considerados no benchmark. Enquanto, que a tabela 3 apresenta os parâmetros dos valores médios de fluxos, relacionados à caracterização da água residual, considerados no benchmark.

Tabela 2: Fluxos - Valores Médios

Fluxo	Valor	Unidade		
Qin	4,17	$m^3/h$		
$Q_{sl}$	0.5*Qin	$m^3/h$		
$Q_{int}$	$2*Q_{in}$	$m^3/h$		
$Q_w$	0,0258	$m^3/h$		

Tabela 3: Caracterização da água residual - Valores Médios

Concentração	Valor	Unidade
$X_{BH}$	0	mg COD/l
$X_{BA}$	0	$mg\ COD/l$
$X_S$	160	mg COD/l
$X_{ND}$	18,28	$mg\ COD/l$
$X_P$	40	$mg\ COD/l$
So	0	mg(-COD)/l
$S_{NH}$	12,5	mg N/l
$S_{ND}$	10,1	mg N/l
$S_{NO}$	1	mg N/l
$S_S$	64	mg COD/l
$S_{ALK}$	7	$m \ mol/l$
$X_{SS}$	166,452	mg  SS/l

# 3. Seleção de Entradas Utilizando Conceito de Efetividade de Entrada e Projeção (EEP)

Nesta seção apresenta-se um critério de seleção de variáveis de entrada baseado no artigo de (Cao et al., 1997). Neste artigo o procedimento de seleção de variáveis de entrada usa o conceito de medida de efetividade de entrada e projeção com a relação entre o valor singular mínimo (SV). O valor singular mínimo (SV) é uma medida de controlabilidade útil que quantifica o efeito das variáveis de entrada relevantes em um sistema (Cao et al., 1997). O objetivo de se escolher tal técnica é para poder ter outro critério de comparação para com o método proposto neste trabalho.

Efetividade de Entrada e Projeção. Considere um sistema, dado por:

$$y = Gu (1)$$

sendo que  $y\in\mathbb{C}^m$  e  $u\in\mathbb{C}^n$  são vetores de saída e entrada respectivamente, e a matriz  $G\in\mathbb{C}^{m\times n}$  tem  $rank\ r$ . G representa a matriz de funções de transferência do sistema. Especialmente, em

estado nominal, G(0) é uma matriz real. A matriz de projeção linha é:

$$P_{\aleph^{\perp}} = G^{+}G \tag{2}$$

sendo que  $G^+$  é a matriz inversa generalizada, ou seja, pseudo-inversa. A parte efetiva de um vetor de entrada u de dimensão n é a projeção dentro do espaço linha,  $P_{\aleph^\perp}u$ . Assim, a efetividade de entrada (IE), o qual foi primeiramente introduzida em (Cao and Biss, 1996), é definida como se segue:

A efetividade de entrada j é a norma-2 da projeção do j-ésimo vetor unitário natural,  $e_j$ , dentro do espaço linha de G, sendo:

$$\eta_{Ij} = \parallel P_{\aleph^{\perp}} e_j \parallel_2 \tag{3}$$

$$\eta_{Ij}^2 = [P_{\aleph}^{\perp}]_{jj} \tag{4}$$

Portanto,  $\eta_{Ij}^2$  corresponde exatamente aos elementos da diagonal principal de  $P_{leph}^{\perp}$ .

#### 3.1. Propriedade Recursiva

Na seleção das entradas, várias linhas e /ou colunas da matriz G necessitam ser eliminadas. Após a eliminação, a efetividade das entradas restantes variará. Porém, as mudanças da efetividade da entrada (IE) pode ser recursivamente obtida usando-se a fórmula recursiva da matriz inversa generalizada:

$$G = [G_{:,n-1} \ g_{:n}] = \begin{bmatrix} G_{m-1,:} \\ g_{m:} \end{bmatrix}$$
 (5)

$$G^{+} = \begin{bmatrix} \hat{G}_{:,m-1} & \hat{g}_{:m} \end{bmatrix} = \begin{bmatrix} \hat{G}_{n-1,:} \\ \hat{g}_{n:} \end{bmatrix}$$
 (6)

respectivamente. O rank da matriz de transferência é um importante parâmetro do sistema. Lema .1.

$$\eta_{In} \neq 1 \iff rank(G) = rank(G_{:,n-1})$$
(7)

$$\eta_{In} = 0 \iff g_{:n} = 0 \iff \hat{g}_{n:} = 0$$
(8)

A prova deste lema pode ser encontrada em (Cao et al., 1997).

#### 3.2. Mínimo Valor Singular (SV) e Seleção de Entrada

O mínimo valor singular é uma importante medida de controlabilidade. Nesta seção a implicação da seleção de entrada é considerada em termos da medida do mínimo SV.

Usando-se a notação da equação (5) e (6) e fazendo-se:

$$G_1 = \left[ egin{array}{ccc} G_{:,n-1} & 0 \end{array} 
ight] \ \ e \ \ G_2 = \left[ egin{array}{c} G_{m-1,:} \ 0 \end{array} 
ight],$$

o seguinte teorema descreve a "distância" entre  $G^+$  e as sub-matrizes.

$$\|G_{:,n-1}^+\|_2 e \|G_{m-1,:}^+\|_2$$
.

**Teorema .1.** Se  $rank(G) = rank(G_1) = rank(G_2)$ , então

$$\|G^{+} - G_{1}^{+}\|_{2}^{2} = \frac{\|\hat{g}_{n:}\|_{2}^{2}}{1 - \eta_{In}^{2}}$$

$$\tag{9}$$

Além disso, o seguinte limite pode ser obtido: Se  $rank(G) = rank(G_1) = rank(G_2)$ , então

$$\|G^{+}\|_{2} \leq \|G_{1}^{+}\|_{2} \leq \|G^{+}\|_{2} + \frac{\|\hat{g}_{n:}\|_{2}}{\sqrt{1 - \eta_{In}^{2}}}$$
 (10)

Para selecionar um subsistema o mais próximo possível do sistema original, a seguinte medida de distância pode ser usada como um critério de seleção de entrada, definida como:

$$\alpha_{Ij} = \frac{\|\hat{g}_{j:}\|_2}{\sqrt{1 - \eta_{In}^2}} \tag{11}$$

Desta forma, o critério se baseia-se em eliminar a entrada ou entradas que tenham o menor valor de  $\alpha_{Ij}$ , e o subsistema resultante tem o maior mínimo valor singular (Cao et al., 1997).

# 4. Seleção das Variáveis de Entrada da Planta de Tratamento de Efluentes Utilizando Efetividade de Entrada e Projeção

Nesta seção é feita a seleção das variáveis de entrada da planta de tratamento de efluentes, utilizando-se os critérios e conceitos apresentados na seção 3. A variável de saída considerada é a concentração de amônia ( $S_{NH_3}$ ). Os dados de amostras coletados foram excitados com sinais de amplitudes aleatórias utilizando a função "uniform random" (sinais randomicamente uniformes) do Simulink / MATLAB. Na saída considerada do processo,  $S_{NH_3}$  (concentração de amônia), foi adicionada sinais de ruído branco. O processo foi simulado durante 6.000 horas, considerando-se um período de amostragem  $T_s$  de 1,5 horas, coletando-se 4.001 amostras de dados de entradas e saída. Os dados foram coletados considerando-se o processo em malha aberta.

#### • Seleção das Variáveis Candidatas a Entrada para a Saída $S_{NH_3}$ :

Seja u o vetor representando o conjunto das 15 variáveis candidatas a entrada do processo de tratamento de efluentes e y a saída de concentração de amônia  $(S_{NH_3})$ . Com os dados de saída e entrada coletados da planta de tratamento de efluentes , obtém-se G através da equação (1):

$$G = \begin{bmatrix} 1,0960 & -0,0004 & -0,0261 & -10,4785 & -44,5172 & -49,3680 & -0,0052 \\ -0,0062 & 0,1200 & 0,0054 & 0,1259 & 0,1570 & -0,1582 & -0,0099 & -0,0315 \end{bmatrix} \tag{12}$$

A tabela 4 apresenta os resultados obtidos de  $\alpha_{Ij}$ , e  $\eta_{Ij}^2$  para os critérios de seleção de entrada, em ordem decrescente em relação a  $\eta_{Ij}^2$ , considerando-se a variável de saída  $S_{NH_3}$ .

Tabela 4: Resultados da seleção de entrada da planta de tratamento de efluentes para a saída  $S_{NH_3}$ 

$u_j$	$\alpha_{Ij}^2$	$\eta_{Ij}^2$
$u_6 = Q_{ar_3}$	0,0160	0,5380
$u_5 = Q_{ar_2}$	0,0131	0,4375
$u_4 = Q_w$	0,0023	0,0242
$u_1 = Q_{in}$	0,0002	0,0003
$u_2 = Q_{int}$	0,0000	0,0000
$u_3 = Q_{sl}$	0,0000	0,0000
$u_7 = X_{BH}$	0,0000	0,0000
$u_8 = X_S$	0,0000	0,0000
$u_9 = X_{ND}$	0,0000	0,0000
$u_{10} = X_{IP}$	0,0000	0,0000
$u_{11} = S_{NH}$	0,0000	0,0000
$u_{12} = S_{ND}$	0,0000	0,0000
$u_{13} = S_{NO}$	0,0000	0,0000
$u_{14} = S_S$	0,0000	0,0000
$u_{15} = S_{ALK}$	0,0000	0,0000

Observa-se, pelos resultados apresentados, que para a maioria das entradas ambos os critérios obtidos possuem valores iguais a zero. Neste caso, ambos os critérios,  $\eta_{Ij}$  e  $\alpha_{Ij}$ , indicam que as entradas selecionadas são  $[Q_{ar_3} \ Q_{ar_2} \ Q_w \ Q_{in}]$ . Desta forma, será analisado o sistema caso a caso, em relação às 4 variáveis a entrada, as quais obtiveram valores de  $\eta_{Ij}$  e  $\alpha_{Ij}$  diferentes de zero.

O sistema referente às 4 entradas (1 × 4) citadas anteriormente, é dado por:

$$G_1 = [1,0960 -10,4785 -44,5172 -49,3680]$$
 (13)

Como o sistema analisado é em relação a uma saída  $(S_{NH_3})$ , neste caso  $G_1$  tem valor singular (SV) igual a 67,3051.

Para um sistema de 3 entradas, e observando-se que a variável  $Q_{in}$  apresentou menor valor de  $\eta_{Ii}^2 = 0,0003$ , então  $Q_{in}$  é eliminada nesta etapa, e o novo subsistema obtido torna-se:

$$G_2 = [ -10,4785 -44,5172 -49,3680 ]$$
 (14)

O sistema  $G_2$  tem valor singular (SV) igual a 67,2962.

Para um sistema de 2 entradas, nesta etapa será elininada a variável  $Q_w$  por apresentar menor valor de  $\eta_{Ij}^2 = 0,0242$ , sendo que o novo subsistema torna-se:

$$G_3 = [ -44,5172 \quad -49,3680 ]$$
 (15)

O sistema  $G_3$  tem valor singular (SV) igual a 66,4754.

Portanto, comparando-se os valores singulares dos sistemas calculados anteriormente  $(1 \times 4, 1 \times 3 \text{ e } 1 \times 2)$  o sistema de 4 entradas apresenta o maior valor singular com  $\underline{\sigma} = 67,3051$ , sendo que neste caso opta-se por manter as 4 variáveis de entrada selecionadas para a variável de saída  $S_{NH_3}$ , a saber:  $Q_{in}$ ,  $Q_w$ ,  $Q_{ar_2}$  e  $Q_{ar_3}$ .

## 5. Análise de Componentes Principais (PCA)

Um dos métodos utilizados para tratamento de dados multivariados é o PCA (em Inglês - Principal Component Analysis), que consiste numa manipulação da matriz de dados com o objetivo de representar as variações presentes em muitas variáveis, através de um número menor de "fatores". Constrói-se um novo sistema de eixos (denominados rotineiramente de fatores, componentes principais, variáveis latentes ou ainda autovetores) para representar as amostras, no qual a natureza multivariada dos dados pode ser visualizada em poucas dimensões.

Matematicamente, o processo consiste na decomposição em valores singulares (SVD) de uma matriz X, não quadrada, em que cada amostra é representada numa linha, e as variáveis são as colunas. A matriz passa a ser representada pelo produto de três outras matrizes, a matriz V denominada matriz de "loadings" e o produto US, matriz de "scores". Um algoritmo comumente empregado é o de decomposição de valores singulraes (SVD), sendo que a matriz de dados é escrita como:

$$\mathbf{X} = \mathbf{U}\mathbf{S}\mathbf{V}^t \tag{16}$$

A matriz V é a matriz dos "loadings", sendo que a primeira coluna contém os "loadings" de PC1 e assim por diante. U\*S corresponde à matriz T dos "scores". S é uma matriz diagonal cujos elementos (valores singulares) contêm informação sobre a quantidade de variância que cada componente principal descreve. A matriz S é importante na determinação da dimensionalidade intrínseca da matriz de dados X (posto de X). Os autovalores que forem pequenos serão excluídos, e as informações relevantes podem, de alguma maneira, ser separadas, eliminando-se assim os ruídos experimentais. A expressão abaixo mostra a relação entre o valor singular e a variância contida na j-ésima componente principal.

$$VAR\%PCj = \frac{s_{jj}^2}{\sum_{j=1}^p s_{jj}^2} \times 100$$
 (17)

sendo que o denominador dá o valor da variância total e p é o número de valores singulares do conjunto de dados (o menor valor dentre n e m), sendo que n é o número de amostras e m o número de variáveis.

#### 5.1. Análise de Componentes Principais Aplicada à Planta de Tratamento de Efluentes

A Análise de Componentes Principais (PCA) foi utilizada com o objetivo de se ter uma idéia do número necessário de componentes principais para descrever o conjunto de dados, relacionados à planta de tratamento de efluentes. A matriz de dados  $\mathbf{X}$  consiste, neste caso, em 16 colunas (m=16), sendo as 15 primeiras colunas relacionadas às variáveis candidatas a entrada e a última coluna representando a variável de saída) nas 4001 amostras (n=4001). Os dados experimentais originais podem não ter uma distribuição adequada para análise, dificultando a extração de informações úteis e interpretação dos mesmos. Nestes casos, um pré-processamento nos dados originais pode ser de grande valia. Medidas em diferentes unidades e variáveis com diferentes variâncias são algumas das razões que levam a estes problemas. Os métodos de pré-processamento mais utilizados consistem basicamente em centrar na média ou autoescalar os dados. O primeiro tipo de pré-processamento consiste em calcular a média dos dados de determinada coluna (variável) e, em seguida, subtraí-la de cada dado da referida coluna. Assim, as médias das variáveis são igualadas a zero. No segundo tipo, são calculadas as médias e os desvios padrão, em seguida subtrai-se cada valor da média e divide-se o resultado pelo desvio padrão. Portanto, a média de cada variável será zero e o desvio padrão será igual a 1.

O pré-processamento dos dados realizado foi o de autoescalar. Foi utilizado o software MATLAB para análise dos dados.

A análise foi feita, considerando-se a variável de saída com as possíveis variáveis candidatas a entrada.

Os resultados da porcentagem de variância explicada em cada Componente Principal (PC) estão na tabela 5.

Tabela 5: Porcentagem de variância obtida com a análise de componentes principais (PCA) considerando-se a variável de saída  $S_{NH_3}$ 

(PC)	% Variância desta PC	% Variância tota			
1	10,4582	10,4582			
2	9,2381	19,6963			
3	7,6387	27,3350			
4	7,0634	34,3984			
5	6,9037	41,3021			
6	6,5442	47,8463			
7	6,4114	54,2577			
8	6,1094	60,3671			
9	6,0648	66,4319			
10	5,9907	72,4226			
11	5,7103	78,1329			
12	5,3541	83,4870			
13	5,1623	88,6493			
14	5,0025	93,6518			
15	3,3189	96,9707			
16	3,0294	100,0001			

Analisando-se a porcentagem de variância de cada Componente Principal (PC) e a variância total, observa-se que seria necessário no mínimo 7 componentes principais para poder representar acima de 50% da variância total.

A tabela 6 ilustra os resultados da variância explicada pelas duas primeiras componentes principais, em relação a cada variável candidata a entrada. Estes resultados foram obtidos do seguinte modo:

 A proporção de variância calculada para cada variável é dada, elevando-se o primeiro elemento ao quadrado e somando-o com o segundo, também elevado ao quadrado, sendo que estes elementos são obtidos da matriz de "loadings". Esta análise, se baseou conforme apresentado em (Dunteman, 1989).

Proporção de Variância							
(Variável)	Proporção de Variância Calculada						
$Q_{in}$	0,3103						
$Q_{int}$	0,0022						
$Q_{sl}$	0,1938						
$Q_w$	0,0172						
$Q_{ar_2}$	0,0444						
Qara	0,0029						
$X_{BH}$	0,0045						
$X_S$	0,4138						
$X_{ND}$	0,0918						
$X_{IP}$	0,0015						
$S_{NH}$	0,0578						
$S_{ND}$	0,0162						
$S_{NO}$	0,0129						
Sc	0.3500						

Tabela 6: Proporção de variância calculada para a saída  $S_{NH_3}$  pelas duas primeiras componentes principais

Desta forma, as 7 variáveis de maior influência representadas pela proporção de variância explicada pelas duas primeiras componentes principais para a variável de saída  $\dot{S}_{NH_3}$ , são:  $X_S$ ,  $S_S$ ,  $Q_{in}$ ,  $Q_{sl}$ ,  $X_{ND}$ ,  $S_{NH}$  e  $Q_{ar_2}$ .

0.0008

Os "loadings" em relação à primeira componente e à segunda componente, são representados na figura a seguir. A primeira (PC1) e a segunda (PC2) componentes principais estão relacionadas respectivamente com a primeira e com a segunda coluna obtidos da matriz de "loadings".

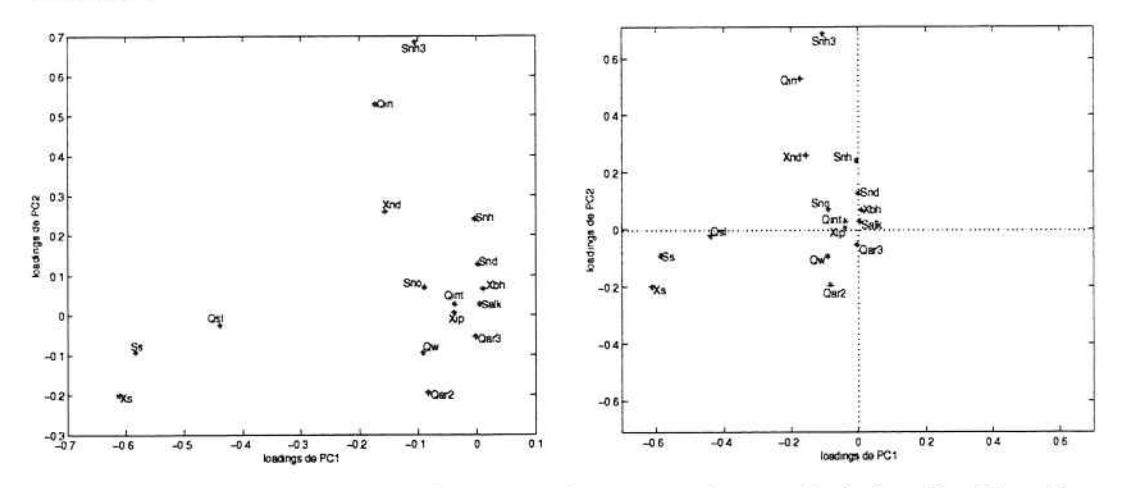


Figura 2: "Loadings" da primeira e segunda componentes em relação à variável de saída  $S_{NH_3}$ 

#### Funções de Correlação

Quando se pode demonstrar que existe associação entre duas variáveis quantitativas, isto é, quando se constata que uma variável afeta a outra, diz-se que as variáveis estão correlacionadas.

Pode-se escrever a Função de Correlação Cruzada (FCC) entre dois sinais u(t) e y(t) como:

$$r_{uy}(\tau,t) = E[u(t)y(t+\tau)] \tag{18}$$

sendo  $E[\cdot]$  a esperança matemática,  $\tau$  o atraso e t o tempo.

A função de autocorrelação (FAC) de um sinal u(t) pode ser estimada usando-se:

$$r_{uu}(\tau, t) = E[u(t)u(t+\tau)] \tag{19}$$

# 7. Metodologia Proposta para Seleção das Variáveis de Entrada

A seguir são descritos alguns procedimentos para seleção de variáveis de entrada, a partir da função de correlação. Em (Aguirre, 2000), a função de correlação é utilizada como um procedimento para auxiliar na seleção de variáveis de entrada. Após se verificar a existência ou não de correlação entre as variáveis candidatas a entrada e a saída desejada, verifica-se qual ou quais variáveis candidatas a entrada estão correlacionadas entre si e, caso duas variáveis candidatas a entrada estejam correlacionadas entre si, despreza-se uma delas.

Todavia, por se tratar de um procedimento com aspecto subjetivo, nesta tese, após a realização de alguns testes utilizando-se uma análise com critérios estatísticos, o seguinte procedimento para a seleção de variáveis candidatas a entrada a partir de função de correlação

Passo 1: Calculam-se as funções de correlação cruzada entre cada uma das variáveis candidatas a entrada e a saída desejada. Verifica-se qual ou quais das variáveis candidatas a entrada têm correlação com a saída, verificando-se o valor de correlação apresentando na FCC de cada uma delas. É importante ressaltar que as variáveis candidatas a entrada que na função de correlação cruzada não estiverem correlacionadas com a saída desejada, são eliminadas nas demais análises dos passos seguintes.

candidatas a entrada estão qual ou quais variáveis Passo 2: Após verificar correlacionadas com a saída, calcula-se as funções de correlação cruzada entre todas as possíveis

variáveis candidatas a entrada. Passo 3: Dentre os pares de variáveis candidatas a entrada que estão correlacionadas entre si, analisando-se par a par, seleciona-se dentre cada par a variável que apresentar maior FCC com a saída desejada. E caso não se constate evidência de correlação entre duas variáveis candidatas a entrada, ambas devem ser incluídas inicialmente no critério de seleção da saída desejada.

Passo 4: Verifica-se em cada grupo de variáveis candidatas a entrada, a variável que apresentar maior FCC.

## 7.1. Análise da Função de Correlação Cruzada Entre Entradas e Saídas

O objetivo principal de se analisar a função de correlação cruzada entre as variáveis candidatas a entrada e a saída desejada, é de verificar a existência ou não de correlação entre elas. Se uma variável candidata a entrada do modelo, não afeta a saída, então a presença da mesma não se justifica.

Em um primeiro momento, com os dados coletados realizou-se o teste de correlação cruzada, para verificar se as variáveis candidatas a entrada estavam correlacionadas com a saída desejada. As relações existentes, entre as variáveis candidatas a entrada e a saída desejada da planta de tratamento de efluentes, serão explicadas através dos gráficos de correlação cruzada. Antes de se apresentar alguns resultados dos gráficos obtidos da função de correlação entre as variáveis candidatas a entrada e a saída desejada é importante introduzir o intervalo de confiança a ser considerado, pois ressalta-se que os pontos pontilhados nos gráficos da função de correlação cruzada, indicam um intervalo de confiança de 95%. Como os sinais usados são aleatórios, e considerando-se uma variável aleatória x cuja distribuição é gaussiana com média  $\bar{x}$  e desvio padrão  $\sigma_x$ , afim de satisfazer o intervalo de confiança de 95%, então para uma determinada realização de  $x_i$  de x, a probabilidade de  $x_i$  estar compreendida no intervalo de 95% é:

$$\bar{x} - Z\sigma_x < x_i < \bar{x} + Z\sigma_x \tag{20}$$

Portanto, para se obter a estimativa do intervalo de confiança, teremos

$$\bar{x} \pm Z \frac{\sigma}{\sqrt{N}}$$
 ou  $\bar{x} - Z \frac{\sigma}{\sqrt{N}} \le x_i \le \bar{x} + Z \frac{\sigma}{\sqrt{N}}$  (21)

sendo que  $\frac{\sigma}{\sqrt{N}}$  representa o erro padrão da média aritimética de  $\sigma_x$ , N indica o comprimento do registro dos dados e Z representa o valor correspondente a uma área por  $(1-\alpha)$  x 100%.  $\alpha$  é a proporção de caudas da distribuição gaussiana que estão fora do intervalo de confiança. Um nível de confiança de 95% conduz a um valor de Z igual a  $\pm 1,96$ . Então para satisfazer o intervalo de confiança, os sinais aleatórios coletados foram convertidos para Z unidades padronizadas

$$Z = \frac{\bar{x} - x_i}{\sigma_x} \tag{22}$$

Em identificação de sistemas, devido à forma com que os testes e coleta de dados são efetuados, normalmente trabalha-se com sinais de média nula. Neste caso, considerando-se

uma distribuição gaussiana de média zero ( $\bar{x}=0$ ) e variância ( $\sigma_x^2=1$ ), tem-se o desvio padrão ( $\sigma=1$ ). Portanto, para o intervalo de confiança de 95%, os limites inferiores e superiores tornam-se, desta forma,  $\pm \frac{1.96}{\sqrt{N}}$ , conforme equação (21) e (7.1). Os dados após serem convertidos para Z unidades padronizadas, foram normalizados antes da análise da função de correlação cruzada (FCC). As figuras a seguir ilustram graficamente as funções de correlação cruzada (FCC) entre a saída desejada e algumas das variáveis candiadatas a entrada da planta de tratamento de efluentes.

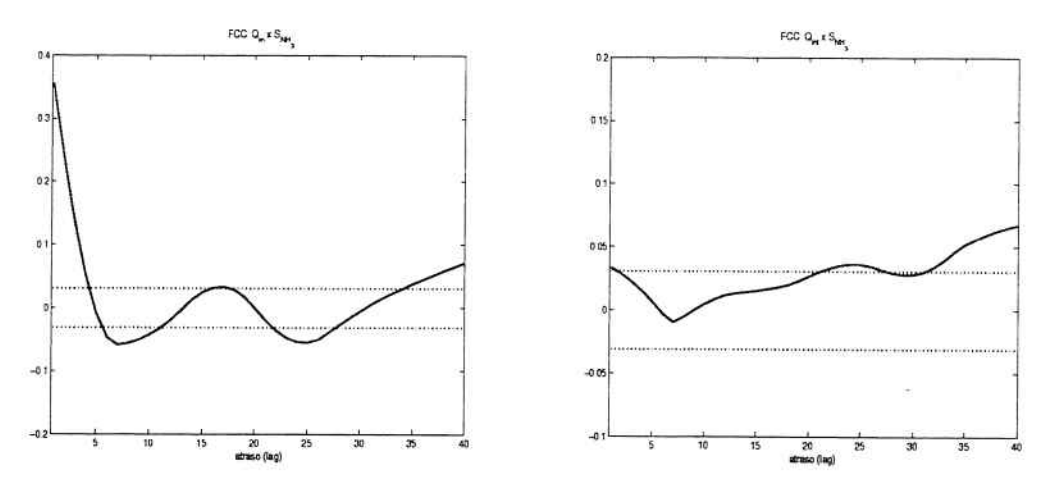


Figura 3: FCC das variáveis candidatas a entrada  $Q_{in},\,Q_{int}$  e a variável de saida  $S_{NH_3}$ 

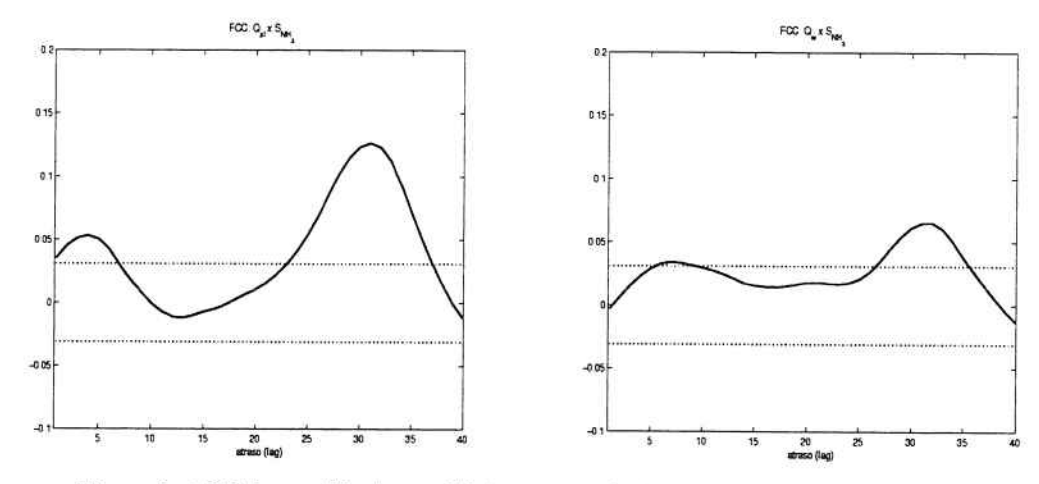


Figura 4: FCC das variáveis candidatas a entrada  $Q_{sl}$ ,  $Q_w$  e a variável de saída  $S_{NH_3}$ 

Em análise da variável de saída com as variáveis candidatas a entrada, foi calculado o maior valor absoluto da FCC. A tabela a seguir ilustra os resultados apresentados.

Tabela 7: FCC entre as variáveis candidatas a entrada e a saída desejada

E/S	$Q_{in}$	Qint	$Q_{sl}$	$Q_w$	$Q_{ar_2}$	$Q_{ar_3}$	$X_{BH}$	$X_S$
$S_{NH_3}$	0,3556	0,0677	0,1267	0,0652	0,1021	0,0604	0,0528	0,0516

E/S	$X_{ND}$	$X_{IP}$	$S_{NH}$	$S_{ND}$	$S_{NO}$	$S_S$	$S_{ALK}$
$S_{NH_3}$	0,1832	0,0566	0,1485	0,1253	0,0449	0,0518	0,0364

Ao se analisar os gráficos obtidos de FCC das variáveis de saída,  $S_{NH_3}$  (concentração de amônia) com as variáveis candidatas a entrada, pode-se verificar que  $Q_{in}$ ,  $Q_{int}$ ,  $Q_{sl}$ ,  $Q_w$ ,  $Q_{ar_2}$ ,  $Q_{ar_3}$ ,  $X_{BH}$ ,  $X_S$ ,  $X_{ND}$ ,  $X_{IP}$ ,  $S_{NH}$ ,  $S_{ND}$ ,  $S_S$  e  $S_{ALK}$  estão ambas correlacionadas com a variável de saída,  $S_{NH_3}$ . A tabela a seguir ilustra a existência de correlação entre cada variável de entrada e a saída desejada.

Tabela 8: FCC entre as variáveis candidatas a entrada e a saída desejada

E/S	Qin	Qint	$Q_{sl}$	$Q_w$	$Q_{ar_2}$	$Q_{ar_3}$	$X_{BH}$	$X_S$
$S_{NH_3}$	С	С	С	С	С	C	C	C

E/S	$X_{ND}$	$X_{IP}$	$S_{NH}$	$S_{ND}$	$S_{NO}$	$S_S$	$S_{ALK}$
$S_{NH_3}$	C	С	C	С	C	С	С

#### 7.2. Análise de Função de Correlação Cruzada Entre Entradas

Após verificar a existência de correlação entre as variáveis candidatas a entrada e a saída desejada, aplica-se então a função de correlação cruzada entre todas as possíveis variáveis candidatas a entrada, que estão correlacionadas com a saída. Caso verifique que um par de variáveis de entrada estão correlacionadas, uma delas é candidata a ser eliminada, o qual o primeiro critério de eliminação, parte-se da análise de função de correlação cruzada calculada entre as variáveis de entrada e a saída desejada. Os gráficos a seguir indicam as respostas dos testes de correlação cruzada entre algumas das candidatas a variáveis de entrada.

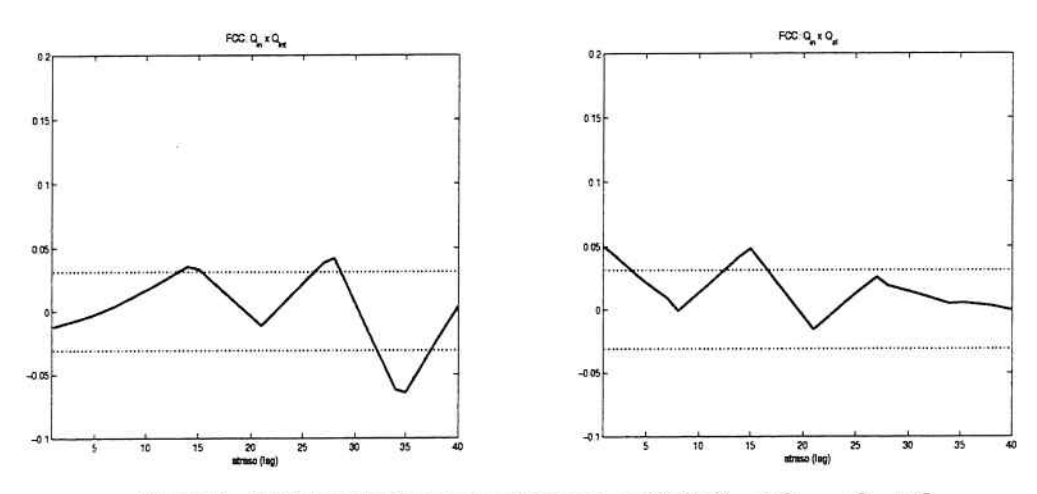


Figura 5: FCC das variáveis candidatas a entrada  $Q_{in}$  x  $Q_{int}$ ,  $Q_{in}$  x  $Q_{sl}$ 

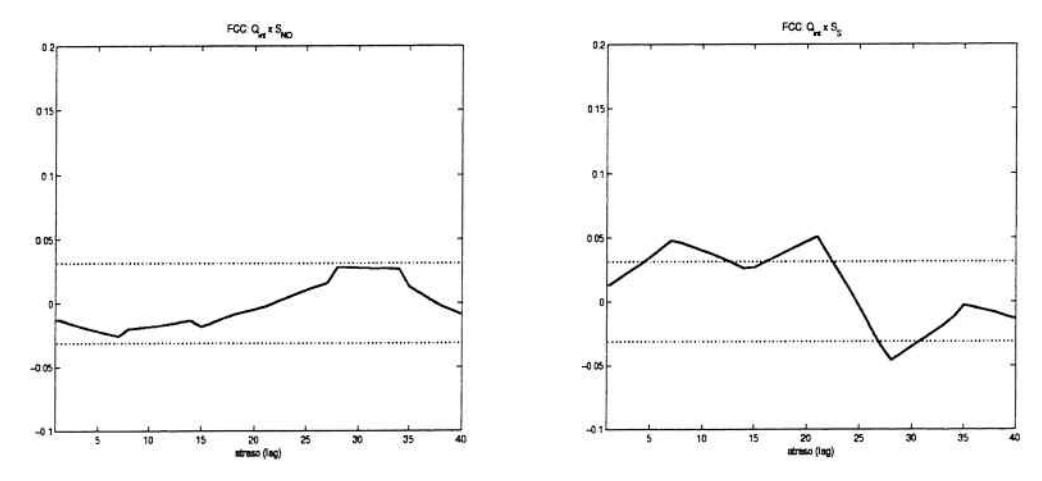


Figura 6: FCC das variáveis candidatas a entrada  $Q_{int} \times S_{NO}$ ,  $Q_{int} \times S_S$ 

Analisando-se as funções de correlação cruzada das variáveis candidatas a entradas, pode-se observar na tabela a seguir a existência de correlação ou não entre cada uma delas. Esta análise é feita através dos gráficos da função de correlação, sendo que caso a FCC se mantenha dentro do intervalo de confiança de 95%, não apresentando picos significativos fora deste

intervalo  $^2$  conclui-se que não existe correlação entre o par de variáveis analisadas. As tabelas a seguir ilustram os valores calculados da FCC entre as variáveis candidatas a entrada.

Tabela 9: FCC entre as variáveis candidatas a entrada

E/E	Qin	Qint	$Q_{sl}$	$Q_w$	$Q_{ar_2}$	$Q_{ar_3}$	$X_{BH}$	$X_S$
$Q_{in}$	-	0,0646	0,0494	0,0910	0,0668	0,0540	0,0529	0,0617
Qint		-	0,0737	0,0628	0,0936	0,0418	0,1211	0,0678
$Q_{sl}$				0,0837	0,0610	0,0686	0,1059	0,2766
$Q_w$				-	0,0622	0,0411	0,0341	0,0482
Qara					<u> </u>	0,1128	0,0602	0,0437
Qar3							0,0750	0,0326
$X_{BH}$							-	0,0867
$X_S$								¥

E/E	$X_{ND}$	$X_{IP}$	$S_{NH}$	$S_{ND}$	$S_{NO}$	$S_S$	$S_{ALK}$
$Q_{in}$	0,0752	0,0625	0,0464	0,0600	0,3556	0,0845	0,0369
Qint	0,0592	0,0685	0,0592	0,0860	0,0282	0,0510	0,0706
$Q_{sl}$	0,0741	0,0562	0,0371	0,0601	0,0429	0,1598	0,0751
$Q_w$	0,0573	0,0754	0,0981	0,0679	0,0565	0,0741	0,0484
$Q_{ar_2}$	0,0963	0,0441	0,0512	0,0528	0,0861	0,0662	0,0748
$Q_{ar_3}$	0,0809	0,0599	0,1018	0,0700	0,0570	0,0435	0,0598
$X_{BH}$	0,0752	0,0619	0,0601	0,0566	0,0686	0,0825	0,0678
$X_S$	0,0378	0,0437	0,0689	0,0391	0,0545	0,4745	0,0548

E/E	$X_{ND}$	$X_{IP}$	$S_{NH}$	$S_{ND}$	$S_{NO}$	$S_S$	$S_{ALK}$
$X_{ND}$	-	0,0615	0,0521	0,0366	0,0504	0,0704	0,0685
$X_{IP}$		-	0,0855	0,0509	0,0779	0,0693	0,0689
$S_{NH}$			8	0,0607	0,0654	0,0711	0,0544
$S_{ND}$				17.	0,0669	0,0539	0,0539
$S_{NO}$					-	0,0741	0,0364
$S_S$							0,0513
$S_{ALK}$							-

Conforme os resultados apresentados, na tabela a seguir, "C" significa correlacionada e "NC" significa não correlacionada.

Tabela 10: FCC - Entrada x Entrada

E/E	$Q_{in}$	Qint	$Q_{sl}$	$Q_w$	$Q_{ar_2}$	$Q_{ar_3}$	$X_{BH}$	$X_S$
$Q_{in}$		С	С	С	С	С	С	C
$Q_{int}$		-	С	С	С	С	С	С
$Q_{sl}$			-	C	С	С	С	C
$Q_w$				· —	С	С	С	C
$Q_{ar_2}$					-	C	С	C
$Q_{ar_3}$						72	С	C
$X_{BH}$					,		-	С
$X_S$								-

<sup>&</sup>lt;sup>2</sup>O valor calculado do intervalo de confiança foi igual a 0,0310, portanto, todo valor de FCC acima do intervalo de confiança, foi considerado como existência de correlação entre duas variáveis candidatas a entradas

E/E	$X_{ND}$	$X_{IP}$	$S_{NH}$	$S_{ND}$	$S_{NO}$	$S_S$	$S_{ALK}$
$Q_{in}$	С	C	С	C	C	C	С
$Q_{int}$	С	C	С	С		С	С
$Q_{sl}$	С	С	С	С	С	С	C
$Q_w$	C	С	С	С	С	С	С
$Q_{ar_2}$	С	С	С	С	С	С	С
$Q_{ar_3}$	С	С	С	С	С	С	С
$X_{BH}$	С	С	C	С	С	С	C
$X_S$	С	С	С	С	С	С	С

E/E	$X_{ND}$	$X_{IP}$	$S_{NH}$	$S_{ND}$	$S_{NO}$	$S_S$	$S_{ALK}$
$X_{ND}$	-	С	С	C	С	С	С
$X_{IP}$		-	С	С	С	С	С
$S_{NH}$			-	С	С	C	С
$S_{ND}$				-	С	С	С
$S_{NO}$					-	С	С
$S_S$						120	С
$S_{ALK}$							( <del>-</del>

## 8. Variáveis Selecionadas para a Planta de Tratamento de Efluentes

Analisando-se a tabela 7 da função de correlação cruzada entre as variáveis candidatas a entrada, e levando-se em consideração a FCC entre cada variável candidata a entrada e a saída desejada, e conforme o procedimento de seleção de variáveis de entrada descrito na seção 7, foram primeiramente rastreadas as variáveis em cada combinação de entradas, com a respectiva saída desejada. A tabela 11 ilustra os resultados obtidos para a saída  $S_{NH_3}$  (concentração de amônia).

Tabela 11: Rastreamento das variáveis candidatas a entrada (par a par) para a saida  $S_{NH_3}$ 

Grupo de variáveis	Variáveis rastreadas				
Grupo 1: Qin	$Q_{in}$ (14 grupos)				
Grupo 2: Qint	$Q_{sl}$ , $Q_{int}$ (6 grupos), $Q_{ar_2}$ , $X_{ND}$ , $S_{NH}$ , $S_{ND}$ , $S_{NO}$				
Grupo 3: Q <sub>sl</sub>	$Q_{sl}$ (10 grupos), $X_{ND}$ , $S_{NH}$				
Grupo 4: Qw	$Q_{ar_2}$ , $Q_w$ (7 grupos), $X_{ND}$ , $S_{NH}$ , $S_{ND}$				
Grupo 5: Qar2	$Q_{ar_2}$ (7 grupos), $X_{ND}$ , $S_{NH}$ , $S_{ND}$				
Grupo 6: Qar3	$Q_{ar_3}$ (6 grupos), $X_{ND}$ , $S_{NH}$ , $S_{ND}$				
Grupo 7: X <sub>BH</sub>	$X_{BH}$ (4 grupos), $X_{ND}$ , $X_{IP}$ , $S_{NH}$ , $S_{ND}$				
Grupo 8: X <sub>S</sub>	$X_{ND}$ , $X_{IP}$ , $S_{NH}$ , $S_{ND}$ , $X_S$ (2 grupos), $S_S$				
Grupo 9: X <sub>ND</sub>	$X_{ND}$ (6 grupos)				
Grupo 10: XIP	$S_{NH}, S_{ND}, X_{IP}$ (3 grupos)				
Grupo 11: $S_{NH}$	$S_{NH}$ (4 grupos)				
Grupo 12: S <sub>ND</sub>	$S_{ND}$ (3 grupos)				
Grupo 13: SNO	$S_S, S_{NO}$				
Grupo 14: Ss	$S_S$				

Observa-se pela tabela 11 que a variável  $Q_{in}$  foi mais significativa com respeito à influência que todas as outras variáveis, sendo neste caso uma variável que não será eliminada. Percebe-se, pela tabela 11 que a variável  $S_{ALK}$  não apareceu nenhuma vez em nenhum dos grupos, o que implica que esta variável já está eliminada para a saída  $S_{NH_3}$ . Propõe-se então adotar o eguinte critério: em cada grupo citado nas tabela 11, selecionar a variável de entrada que apresentar maior FCC em valor absoluto com a saída. A idéia aqui é privilegiar apenas as variáveis que tenham maior influência sobre a saída.

A tabela 12 ilustra a quantidade de ocorrência nos grupos, considerando-se todas as variáveis candidatas a entrada com relação à respectiva saída desejada.

Tabela 12: Número de ocorrências nos grupos de cada variável candidata a entrada para a saída  $S_{NH_3}$ 

Variáveis candidata a entrada	Número de ocorrências das variáveis nos grupos			
$Q_{in}$	14 vezes (em relação à todas as outras variáveis)			
$X_{ND}$	13 vezes			
$S_{NH}$	12 vezes			
$Q_{sl}, S_{ND}$	I0 vezes			
$Q_{ar_2}$	9 vezes			
$Q_w$	7 vezes			
Qint, Qara	6 vezes			
XIP	5 vezes			
$X_{BH}$	4 vezes			
$S_S$	3 vezes			
$X_S, S_{NO}$	2 vezes			
SALK	Nenhuma vez			

Desta forma, na tabela 13 tem-se para cada grupo de variáveis descrito anteriormente, em relação à saída, a variável de entrada selecionada, respectivamente para a saída  $S_{NH_3}$ .

Tabela 13: Seleção de variáveis candidatas a entrada de maior FCC em cada grupo para a saída  $S_{NH_3}$ 

Grupo de variáveis	Variáveis rastreadas
Grupo 1: Qin	$Q_{in}$
Grupo 2: Qint	$X_{ND}$
Grupo 3: $Q_{st}$	$X_{ND}$
Grupo 4: Qw	$X_{ND}$
Grupo 5: Qar2	$X_{ND}$
Grupo 6: Qar3	$X_{ND}$
Grupo 7: X <sub>BH</sub>	$X_{ND}$
Grupo 8: X <sub>S</sub>	$X_{ND}$
Grupo 9: X <sub>ND</sub>	$S_{ND}$
Grupo 10: XIP	$S_{NH}$
Grupo 11: $S_{NH}$	$S_{NH}$
Grupo 12: $S_{ND}$	$S_{ND}$
Grupo 13: SNO	$S_S$
Grupo 14: Ss	$S_S$

Portanto, tomando-se as variáveis escolhidas para cada grupo na tabela 13 e considerando-se os procedimentos e critérios descritos anteriormente foram selecionadas as seguintes variáveis de entradas para a saída desejada  $(S_{NH_3})$ :  $Q_{in}$ ,  $X_{ND}$ ,  $S_{NH}$ ,  $S_{ND}$ ,  $S_S$ . Observa-se portanto, que dentro de um conjunto inicial de 15 variáveis candidatas a entrada, foram selecionadas 5 variáveis para a saída  $S_{NH_3}$  (concentração de amônia).

#### Identificação da Planta de Tratamento de Efluentes

Nesta seção é realizada a identificação da planta de tratamento de efluentes, utilizando-se modelos NARX polinomiais. A estrutura do modelo NARX ("Non-Linear Auto-Regressive with eXogenous inputs- não-linear, auto-regressivo, com entradas externas), o qual pode representar os modelos observáveis e controláveis de uma ampla classe de sistemas não-lineares em tempo discreto (Leontaritis and Billings, 1985); (Chen and Billings, 1989) é dada seguir.

$$y(t) = f^{l}[y(t-1), y(t-2)\cdots, y(t-n_{y}+1), u(t-d), u(t-d-1), u(t-d-2), \cdots, u(t-d-n_{u}+1)] + e(t)$$
(23)

sendo que  $t=1\cdots N$ ,  $f^l$  representa um vetor de função não-linear qualquer, com grau de não-linearidade  $l;\,y(t),\,u(t),\,e\,e(t)$  são respectivamente, saída, entrada e ruído do sistema.  $n_y$  e  $n_u$  representam atrasos máximos, respectivamente nos dados de saída e entrada do sistema. d é o atraso puro de tempo medido em intervalos de amostragem  $\tau_s$ . O modelo NARX é uma simplificação do modelo NARMAX ("Non-Linear Auto-Regressive Moving with eXogenous inputs- não-linear, auto-regressivo, com média móvel e entradas externas), obtido pela não incorporação dos erros atrasados ou residuais no processo de identificação. Uma descrição mais completa desta classe de modelos não-lineares pode ser vista em classe de modelos NARMAX polinomiais.

A determinação da estrutura ou quais termos a serem incluídos no modelo é essencial na estimação de parâmetros não-lineares, visto que o modelo NARMAX pode facilmente tornar-se sobreparametrizado. Uma estimação direta baseada em uma expansão polinomial pode envolver um número excessivo de termos, sendo que o número de termos possíveis em modelos polinomiais cresce bastante com o aumento do grau de não-linearidade l e com a ordem dos termos dinâmicos  $(n_u, n_y, n_e)$  no caso de modelos NARMAX e  $(n_u, n_y)$  no caso de modelos NARX. Sendo que  $n_y, n_u, n_e$ , representam, respectivamente, os atrasos máximos da saída, entrada e ruído do sistema.

O número de todos os termos possíveis em modelos polinomiais pode ser determinado através das expressões que serão apresentadas a seguir, tanto para o caso de modelos SISO como MIMO. O número máximo de coeficientes da classe do modelo NARMAX, dado pela equação (23), representando um modelo SISO, conforme (Korenberg et al., 1988), é dado por:

$$n_{\theta} = M + 1 \tag{24}$$

no qual  $n_{\theta}$  é considerado o número de termos do processo e do ruído do modelo, sendo que:

$$M = \sum_{i=1}^{l} n_i$$

$$n_i = \frac{\{n_{i-1}(n_y + n_u + n_e = i - 1)\}}{i}, \quad n_0 = 1$$
(25)

O termo M+1, dado na equação (24), indica que está sendo considerado o termo bias no modelo. Em (Jerônimo, 1998) são apresentados exemplos numéricos de como se determinar o número de todos os termos possíveis em modelos polinomiais. A detecção de estrutura é considerada a tarefa mais difícil e mais importante no processo de identificação; devido ao fato de que as características dinâmicas e estáticas do sistema estão intimamente ligadas à sua estrutura. No entanto, alguns modelos podem incluir termos que não são necessários quando se procura um melhor ajuste dos dados de identificação para representar dinamicamente o sistema, sendo que estes modelos tendem a se tornar excessivamente complexos. Em grande parte, a principal incoveniência de considerar estruturas de modelos com um grande número de parâmetros está relacionada com o tempo computacional e problemas numéricos. Pela razão do número de termos possíveis em modelos NARMAX polinomiais ser muito grande (tipicamente centenas), o algoritmo ortogonal é uma das técnicas mais eficientes para solucionar o problema de detecção de estrutura, visto que os termos signigicativos do modelo podem ser avaliados baseados em "taxa de redução de erro" (ERR).

O algoritmo de estimação de parâmetros dos modelos NARX polinomiais para o processo de identificação desta tese, é uma versão modificada do método "Clássico de Gram-Schmidt" (CGS) intitulada método de "Gram-Schmidt Modificado" (MGS), apresentada em (Chen et al., 1989). Este algoritmo é denominado de algoritmo ortogonal de regressão em avanço usando o procedimento de ortogonalização "Gram-Schmidt Modificado" (MGS). Este algoritmo é uma extensão do algoritmo de estimação ortogonal proposto por (Korenberg et al., 1988), (Billings et al., 1988). O algoritmo de estimação ortogonal tem provado ser eficiente na determinação dos termos significativos e provê estimativa dos parâmetros correspondentes. Em algoritmo (MGS) para identificação de uma processo de neutralização de pH. Todavia, uma descrição mais profunda deste algoritmo pode ser encontrada por exemplo, além das literaturas anteriormente citadas, em (Jerônimo, 1998), (Aguirre, 2000). O modelo de regressão linear é dado por:

$$z(t) = \sum_{j=0}^{n_{\theta}} p_{j}(t)\theta_{j} + \xi(t),$$
  $t = 1, \dots, N,$   $(\forall j = 0, \dots, n_{\theta})$  (26)

sendo que na análise de regressão linear, z(t) é a variável dependente, na qual representa a saída y(t);  $p_j(t)$  são os regressores ou preditores, os quais são obtidos dos diferentes termos do polinônimo representando os monômios até o grau l, ressaltando que  $p_o(t)=1$ ;  $\xi(t)$  é algum erro de modelamento (também chamado de erro de predição);  $\theta_j$  são os parâmetros não conhecidos a serem estimados, no qual  $\theta_0$  representa o termo bias ( $\theta_0=dc$ ),  $n_\theta$  é o número total de termos (de processo e de ruído) no modelo e N é o comprimento dos dados.

A taxa de redução de erro (error reduction ratio) ou ERR (Billings et al., 1989) associa a cada termo candidato um índice correspondente à contribuição deste na explicação da variância dos dados de saída. A taxa de redução de erro (error reduction ratio) ou ERR devida à componente  $w_j$  é então definida conforme (Chen et al., 1989) e (Billings and Chen, 1989):

$$[ERR]_j = \frac{g_j^2 \langle w_j, w_j \rangle}{\langle z, z \rangle}, \quad 1 \le j \le n_\theta \quad \text{ou} \quad [ERR] = \frac{g_{j^2 w_j T_{w_j}}}{z^T z}, \quad 1 \le j \le n_\theta$$
 (27)

Portanto, todos os regressores  $p_j(t)$  são considerados na determinação de cada  $w_j(t)$ , considerando-se como termo escolhido aquele que apresentar o maior  $w_j$ .  $w_j$  indica o termo incluído e  $g_j$  o seu respectivo parâmetro. A "taxa de redução de erro" (ERR) oferece um simples e eficaz meio de selecionar um subconjunto de termos significativos de um amplo número de termos candidatos em um modo de regressão em avanço. A seleção prossegue até que:

$$1 - \sum_{j=0}^{n_{\theta_s}} [ERR]_j < \rho, \quad n_{\theta_s} < n_{\theta}$$
 (28)

sendo que  $\rho$  é a tolerância desejada, sendo limitada respectivamente em  $(0<\rho<1)$ , (Billings and Chen, 1989) ou então (Chen *et al.*, 1989) e esta conduz a um subconjunto de termos do modelo de  $n_{\theta_s}$  (Billings and Chen, 1989), sendo que  $n_{\theta_s}$  é o número de termos escolhidos, ou seja, os termos significativos. Tem-se que  $(1-\sum [ERR]_j)$  é a porção da variância da saída explicada pela inclusão de um novo termo no modelo (Billings and Chen, 1989).

Além da "taxa de redução de erro" (ERR) foram utilizado no algoritmo de regressão em avanço dois critérios de parada baseados no Critério de Informação de Akaike (AIC) e no Critério de Informação de Bayes (BIC). No entanto, o critério da "taxa de redução de erro" (ERR) foi auxiliado pelos critérios de Akaike e de Bayes. A combinação do procedimento MGS auxiliado pelos critérios (AIC) e (BIC) foi utilizada em (Pröll, 1993), (Pröll and Karim, 1994), em que os resultados apresentados foram considerados consistentes. Ambos os critérios levam em conta o desempenho e a complexidade do modelo. A utilização destes critérios auxiliam na determinação do número de termos, no entanto, seus procedimentos não distinguem quais termos devem ser incluídos no modelo, sendo isto portanto, realizado pelo critério da "taxa de redução de erro" (ERR), que propõe a discriminação de acordo com o seu grau de representatividade no modelo.

#### 9.1. Identificação com modelo NARX Polinomial - Sem Seleção de Variáveis de Entrada (SSVE)

Apresentam-se os resultados obtidos com o modelo NARX polinomial, sem a seleção de variáveis de entrada, ou seja, utilizando-se todas as variáveis candidatas a entrada.

A tabela 14 ilustra os resultados dos parâmetros e os regressores obtidos na identificação do modelo da concentração de amônia  $(S_{NH_3})$ . O modelo **NARX** polinomial foi obtido utilizando-se grau de não-linearidade  $(l=2),\ n_y=4,\ n_u=4$ . De um total de 2145 termos do modelo  $(n_\theta=2145)$ , com a utilização do ERR foram selecionados 73 termos  $(n_{\theta_s}=73)$ .

Tabela 14: Modelo NARX polinomial para a saída  $S_{NH_3}$  - Modelo sem seleção de variáveis de entrada

```
\begin{array}{l} -0.001942;\ 0.042266Q_{in}(t-1);\ 0.015161Q_{int}(t-1);\ 0.003303Q_{sl}(t-1);\ 0.000365Q_{w}(t-1);\\ -0.012952Q_{ar_2}(t-1);\ -0.014249Q_{ar_3}(t-1);\ 0.000014X_{BH}(t-1);\ -0.009968X_S(t-1);\\ 0.019574X_{ND}(t-1);\ -0.000151X_{IP}(t-1);\ 0.020663S_{NH}(t-1);\ 0.017091S_{ND}(t-1);\\ -0.000007S_{NO}(t-1);\ -0.0005926S_S(t-1);\ -0.000027S_{ALK}(t-1);\\ 0.218998S_{NH_3}(t-1)^2;\ -0.029064S_{NH_3}(t-1)Q_{in}(t-1);\ -0.0303060S_{NH_3}(t-1)Q_{int}(t-1);\\ 0.002443S_{NH_3}(t-1)Q_{sl}(t-1);\ 1.382635S_{NH_3}(t-1);\ -0.0302121S_{NH_3}(t-2);\\ -0.029285Q_{int}(t-2);\ -0.131303S_{NH_3}(t-3);\ 0.005604Q_{int}(t-3);\\ 0.003690Q_{in}(t-2)X_{ND}(t-2);\ 0.012303Q_{ar_3}(t-2);\ -0.00919S_{NH}(t-3);\\ -0.010630Q_{sl}(t-2);\ 0.006555Q_{sc}(t-3);\ -0.232822S_{NH_3}(t-1)S_{NH_3}(t-3);\\ 0.0014370X_{ND}(t-2);\ -0.011991X_{ND}(t-3);\ -0.008826X_{ND}(t-4);\ -0.013403Q_{in}(t-3);\\ 0.0031634S_{NH_3}(t-1)S_{NH_3}(t-1);\ 0.005125Q_{in}(t-1)S_{ND}(t-1);\ 0.001004Q_{sl}(t-3);\\ 0.00343Q_{ar_2}(t-3);\ -0.005299Q_{in}(t-4)X_{ND}(t-4);\ -0.003824Q_{in}(t-3)S_{ND}(t-3);\\ -0.00542Q_{sl}(t-2)Q_{ar_2}(t-1);\ 0.00431Q_{sl}(t-1)Q_{ar_2}(t-1);\ 0.001687Q_{sl}(t-4);\\ 0.003217Q_{ar_2}(t-3);\ -0.005299Q_{in}(t-4)X_{ND}(t-4);\ -0.003824Q_{in}(t-3)S_{ND}(t-3);\\ -0.00542Q_{sl}(t-2)Q_{ar_2}(t-1);\ 0.00331Q_{sl}(t-1)Q_{ar_2}(t-1);\ 0.003872Q_{in}(t-1)Q_{ar_2}(t-1);\ 0.001687Q_{sl}(t-4);\\ -0.005212Q_{sl}(t-1)Q_{ar_3}(t-1);\ 0.003315Q_{sl}(t-2)Q_{ar_3}(t-1);\ 0.00331S_{NH}(t-2);\\ -0.003102Q_{in}(t-4)X_{ND}(t-3);\ 0.00369S_{NH_3}(t-1)S_{ND}(t-1);\\ -0.005212Q_{sl}(t-1)Q_{ar_3}(t-1);\ 0.003726Q_{in}(t-4)S_{ND}(t-1);\ 0.003726Q_{in}(t-1)S_{ND}(t-1);\ 0.00372Q_{in}(t-2)X_{IP}(t-3);\ 0.0036557S_{NH_3}(t-1)S_{ND}(t-1);\ 0.0005557S_{NH_3}(t-2)Z_{in}(t-1)S_{ND}(t-2);\\ -0.0005712Q_{in}(t-2)X_{IP}(t-3);\ 0.009365S_{NH_3}(t-1)Q_{ar_3}(t-1);\ 0.005557S_{NH_3}(t-2)Z_{in}(t-2)Z_{in}(t-1)S_{ND}(t-1);\\ -0.005712Q_{in}(t-2)X_{IP}(t-3);\ 0.009363S_{NH_3}(t-1)Q_{ar_3}(t-1);\\ -0.00557S_{NH_3}(t-2)S_{NH_3}(t-2)Z_{in}(t-2);\ 0.009365S_{NH_3}(t-1)Z_{in}(t-1);\\ -0.005557S_{NH_3}(t-2)Z_{I
```

# 9.2. Identificação com Modelos NARX Polinomiais - Com Seleção de Variáveis de Entrada (CSVE)

Foram apresentados 3 critérios para a seleção das variáveis candidatas a entrada, sendo:

- Efetividade de Entrada e Projeção (EEP);
- 2) Análise de Componentes Principais (PCA);
- 3) Funções de Correlação (FC).

# 1) Identificação Utilizando-se as Variáveis de Entrada Selecionadas pelo Critério de Efetividade de Entrada e Projeção (EEP):

Para a concentração de amônia  $(S_{NH_3})$ , as variáveis de entrada selecionadas foram:  $Q_{in}$ ,  $Q_w$ ,  $Q_{ar_2}$  e  $Q_{ar_3}$ . A tabela 15 mostra o modelo obtido para a concentração de amônia  $(S_{NH_3})$ . O modelo **NARX** polinomial foi obtido utilizando-se grau de não-linearidade (l=2),  $n_y=4$ ,  $n_u=4$ . De um total de 231 termos do modelo  $(n_\theta=231)$ , com a utilização do ERR foram selecionados 22 termos  $(n_{\theta_s}=22)$ .

# Tabela 15: Modelo NARX polinomial para a saída $S_{NH_3}$ - Modelo com seleção de variáveis de entrada pelo critério de efetividade de entrada e projeção

```
\begin{array}{l} -0,000874;\,0,035743Q_{in}(t-1);\,0,000136Q_w(t-1);\,-0,009821Q_{ar_2}(t-1);\\ -0,008892Q_{ar_3}(t-1);\,0,005866S_{NH_3}(t-1)^2;\,0,040034S_{NH_3}(t-1)Q_{in}(t-1);\\ 0,000838S_{NH_3}(t-1)Q_w(t-1);\,-0,002806S_{NH_3}(t-1)Q_{ar_2}(t-1);\,1,934544S_{NH_3}(t-1);\\ -1,180194S_{NH_3}(t-2);\,-0,010342Q_{in}(t-3);\,0,213353S_{NH_3}(t-3);\,-0,013358Q_{in}(t-2);\\ 0,016661Q_{ar_3}(t-2);\,0,008351Q_{ar_2}(t-2);\,-0,007874Q_{ar_3}(t-3);\\ -0,024873S_{NH_3}(t-3)Q_{in}(t-3);\,-0,014398Q_{in}(t-1)Q_{in}(t-3);\\ 0,010347Q_{in}(t-2)Q_{in}(t-3);\,-0,021108S_{NH_3}(t-1)Q_w(t-3);\\ 0,018194S_{NH_3}(t-1)Q_w(t-2) \end{array}
```

# 2) Identificação Utilizando-se as Variáveis de Entrada Selecionadas pela Análise de Componentes Principais (PCA):

As variáveis de entrada selecionadas para a concentração de amônia  $(S_{NH_3})$  foram:  $X_S$ ,  $S_S$ ,  $Q_{in}$ ,  $Q_{sl}$ ,  $X_{ND}$ ,  $S_{NH}$  e  $Q_{ar_2}$ .

A tabela 16 mostra o modelo NARX obtido para a concentração de amônia  $(S_{NH_3})$ , o qual foi gerado utilizando-se grau de não-linearidade (l=2),  $n_y=4$ ,  $n_u=4$ . De um total de 561 termos do modelo  $(n_\theta=561)$ , com a utilização do ERR foram selecionados 41 termos  $(n_{\theta_s}=41)$ .

Tabela 16: Modelo NARX polinomial para a saída  $S_{NH_3}$  - Modelo com seleção de variáveis de entrada pela análise de componentes principais

```
\begin{array}{l} -0.001347; \, 0.038970 Q_{in}(t-1); \, 0.001999 \, Q_{sl}(t-1); \, -0.010831 Q_{ar_2}(t-1); \\ -0.010195 X_S(t-1); \, 0.018620 X_{ND}(t-1); \, 0.020360 S_{NH}(t-1); \, -0.005244 S_S(t-1); \\ 0.255907 S_{NH_3}(t-1)^2; \, -0.008450 S_{NH_3}(t-1) Q_{in}(t-1); \, -0.005592 S_{NH_3}(t-1) Q_{sl}(t-1); \\ -0.002963 S_{NH_3}(t-1) Q_{ar_2}(t-1); \, 1.649766 S_{NH_3}(t-1); \, -0.757609 S_{NH_3}(t-2); \\ 0.062856 S_{NH_3}(t-3); \, -0.009661 S_{NH}(t-1); \, -0.015323 X_{ND}(t-3); \, -0.010861 Q_{in}(t-3); \\ 0.006976 X_S(t-3); \, 0.010786 X_{ND}(t-2); \, -0.392254 S_{NH_3}(t-1) S_{NH_3}(t-2); \\ 0.007659 Q_{ar_2}(t-2); \, -0.009638 Q_{sl}(t-2); \, 0.005347 Q_{in}(t-2) X_{ND}(t-1); \\ 0.003852 S_S(t-3); \, 0.006655 Q_{in}(t-1) S_{NH}(t-1); \, -0.008493 Q_{in}(t-1) S_{NH}(t-2); \\ 0.004027 Q_{sl}(t-3); \, 0.146167 S_{NH_3}(t-1) S_{NH_3}(t-3); \, -0.004818 Q_{in}(t-2); \\ -0.004224 S_{NH}(t-2); \, -0.003863 X_{ND}(t-4); \, 0.005108 Q_{in}(t-2) S_{NH}(t-1); \\ -0.008859 X_{ND}(t-2) S_S(t-2); \, 0.006871 X_{ND}(t-1) S_S(t-1); \\ 0.017375 S_{NH_3}(t-1) Q_{in}(t-2); \, 0.007973 X_{ND}(t-1) X_{ND}(t-3); \\ -0.006182 X_{ND}(t-2) X_{ND}(t-3); \, -0.005344 Q_{sl}(t-2) Q_{ar_2}(t-1); \\ 0.004064 Q_{sl}(t-3) Q_{ar_2}(t-2); \, -0.002809 Q_{in}(t-4) \end{array}
```

## Identificação Utilizando-se as Variáveis de Entrada Selecionadas pelo Método de Funções de Correlação (FC):

Para a concentração de amônia  $(S_{NH_3})$ , as variáveis de entrada selecionadas foram:  $Q_{in}$ ,  $X_{ND}$ ,  $S_{NH}$ ,  $S_{ND}$  e  $S_S$ . A tabela 17 mostra o modelo **NARX** polinomial obtido utilizando-se grau de não-linearidade (l=2),  $n_y=4$ ,  $n_u=4$ . De um total de 325 termos do modelo  $(n_\theta=325)$ , com a utilização do ERR foram selecionados 35 termos  $(n_{\theta_s}=35)$ .

Tabela 17: Modelo NARX polinomial para a saída  $S_{NH_3}$  - Modelo com seleção de variáveis de entrada pelo método de funções de correlação

```
\begin{array}{l} -0.001312; \ 0.040395Q_{in}(t-1); \ 0.017574X_{ND}(t-1); \ 0.020162S_{NH}(t-1); \\ 0.014215S_{ND}(t-1); \ -0.010368S_S(t-1); \ 0.139523S_{NH_3}(t-1)^2; \\ -0.011423S_{NH_3}(t-1)Q_{in}(t-1); \ 0.003134S_{NH_3}(t-1)X_{ND}(t-1); \\ 0.008731S_{NH_3}(t-1)S_{NH}(t-1); \ 1.644849S_{NH_3}(t-1); \ -0.796853S_{NH_3}(t-2); \\ 0.141134S_{NH_3}(t-3); \ -0.009888S_{NH}(t-3); \ 0.012553Q_{in}(t-2)X_{ND}(t-2); \\ -0.010215Q_{in}(t-3); \ -0.013977X_{ND}(t-3); \ -0.008364S_{ND}(t-3); \ 0.011484X_{ND}(t-2); \\ 0.006322S_S(t-3); \ -0.128281S_{NH_3}(t-1)S_{NH_3}(t-2); \ -0.007940Q_{in}(t-3)X_{ND}(t-3); \\ 0.009111Q_{in}(t-1)S_{ND}(t-1); \ -0.009793S_{NH_3}(t-2)S_{NH_3}(t-3); \\ -0.006627Q_{in}(t-2)S_{ND}(t-2); \ -0.004170Q_{in}(t-2); \ 0.014845S_{NH_3}(t-1)Q_{in}(t-2); \\ -0.002489Q_{in}(t-1)S_S(t-2); \ -0.004011X_{ND}(t-4); \ -0.004461Q_{in}(t-4); \\ -0.037578S_{NH_3}(t-4); \ 0.002371Q_{in}(t-1)S_{NH}(t-1); \ -0.007533X_{ND}(t-1)S_{ND}(t-1); \\ 0.006197X_{ND}(t-2)S_{ND}(t-2); \ -0.003366S_{NH}(t-2) \end{array}
```

## 10. Critérios de Desempenho do Modelo

Nesta seção faz-se uma comparação dos modelos identificados com e sem seleção de variáveis de entrada.

Os indicadores aqui apresentados são usados para avaliar os modelos identificados como também os modelos validados, conforme será apresentado no capítulo seguinte.

#### Cálculo da Variância:

A variância é dada por:

$$C(\hat{\Theta}_s) = \frac{1}{N} \sum_{t=1}^{N} \varepsilon^T(t) \varepsilon(t)$$
 (29)

sendo que N é o número de dados disponíveis,  $\varepsilon$  é o erro de modelamento.

#### • RMSE (Relative Mean Square Error):

O RMSE é dado por:

$$RMSE = \frac{\sqrt{\sum_{k=1}^{N} (y(k) - \hat{y}(k))^2}}{\sqrt{\sum_{k=1}^{N} (y(k) - \bar{y})^2}}$$
(30)

sendo que  $\hat{y}(k)$  é o valor estimado do sinal e  $\bar{y}$  é o valor médio do sinal medido y(k), sendo que a média é calculada na janela de identificação (Aguirre, 2000).

#### 10.1. Modelos NARX Polinomiais

Uma análise dos modelos NARX polinomiais para a variável de saída  $S_{NH_3}$  é apresentada a seguir.

A tabela 18 apresenta os resultados comparativos dos modelos NARX polinomiais com e sem seleção de variáveis de entrada para a concentração de amônia  $(S_{NH_3})$ .

Tabela 18: Comparação dos modelos NARX polinominais para a saída  $S_{NH_3}$ 

$l=2; n_y=4; n_y=4; n_y=4$	SSVE	EEP	PCA	FC
$n_{\theta}$	2145	231	561	325
$n_{\theta_*}$	73	22	41	35
$C(\hat{\theta}_s)$	$1,394114 \times 10^{-4}$	$3,811021 \times 10^{-4}$	$2,431215 \times 10^{-4}$	$2,438434 \times 10^{-4}$
RMSE	0,0475	0,0785	0,0627	0,0628

Observa-se, conforme era de se esperar, que o melhor modelo NARX foi obtido para o caso em que todas as variáveis de entrada foram empregadas. Os métodos PCA e FC

apresentaram desempenho bastante similar. Embora, os resultados dos índices de desempenho sejam próximos, observa-se que os métodos PCA e FC foram melhores do que o método de efetividade de entrada e projeção.

No entanto, o modelo identificado com seleção de variáveis de entrada através da análise de componentes principais (PCA) apresenta um número de termos maior que o modelo obtido aplicando-se as funções de correlação. Desta forma, pode-se concluir que, dentre os modelos NARX polinomiais identificados, o modelo com seleção de variáveis de entrada através do método de funções de correlação é uma boa opção para representar a concentração de amônia  $(S_{NH_3})$ .

# 11. Validação dos Modelos NARX Polinomiais

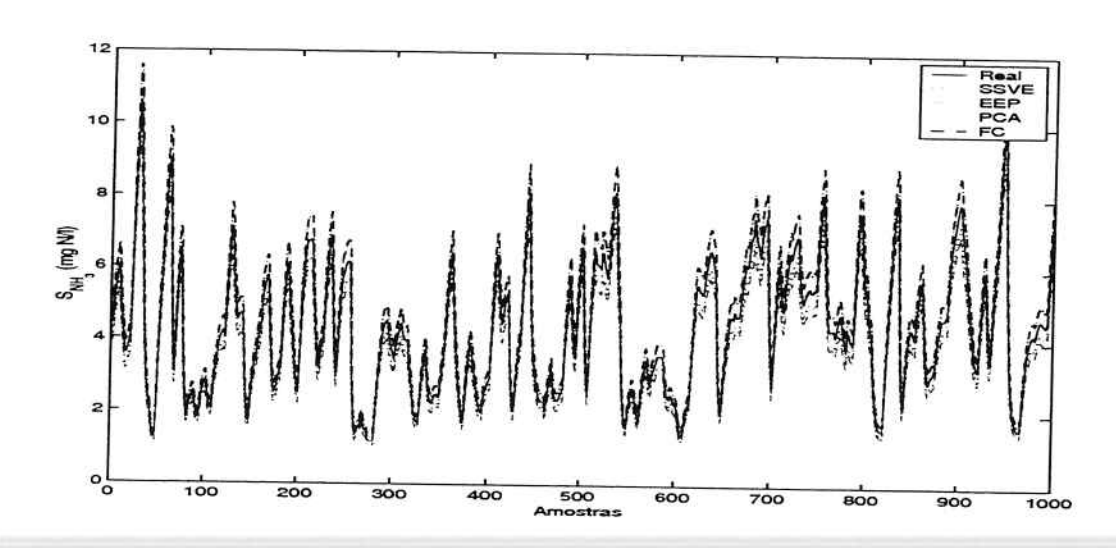
Para o procedimento de validação foi coletado um novo conjuto de dados, correspondendo 2001 amostras.O processo foi simulado por 3000 horas, mantendo-se o período de amostragem utilizado no procedimento de identificação, o qual foi de 1,5 horas. Os sinais foram aletórios com distribuição uniforme. Aqui se apresentam os resultados de validação dos modelos NARX polinomiais, utilizando-se o modelo sem seleção de variáveis de entrada e modelos com seleção de variáveis de entrada, pelo critério de efetividade de entrada e projeção, pela análise de componentes principais (PCA) e pelo método proposto neste trabalho, baseado em funções de correlação.

Uma análise dos modelos **NARX** polinomiais para a variável de saída  $S_{NH_3}$  é apresentada a seguir. A tabela 19 apresenta os resultados dos índices de desempenho relacionados à validação dos modelos **NARX** polinomiais com e sem seleção de variáveis de entrada para a concentração de amônia  $(S_{NH_3})$ .

Tabela 19: Comparação dos índices de desempenho dos modelos NARX polinominais para a saída  $S_{NH_3}$ 

$l=2; n_y=4; n_y=4;$	SSVE	EEP	PCA	FC
$n_{ heta}$	2145	231	561	325
$n_{\theta_s}$	73	22	41	35
$C(\hat{ heta_s})$	0, 1261	0,2947	0,1815	0,1823
RMSE	0,2005	0,3066	0,2406	0,2412

Analisando-se a tabela 19 verifica-se que os modelos PCA e FC apresentaram índices de desempenho melhores do que o modelo EEP. Os resultados para o modelos PCA e FC são similares e apenas pouco inferiores ao modelo sem seleção de variáveis de entrada. A título de facilitar a comparação, a figura 7 mostra a saída do processo e dos 4 modelos obtidos.



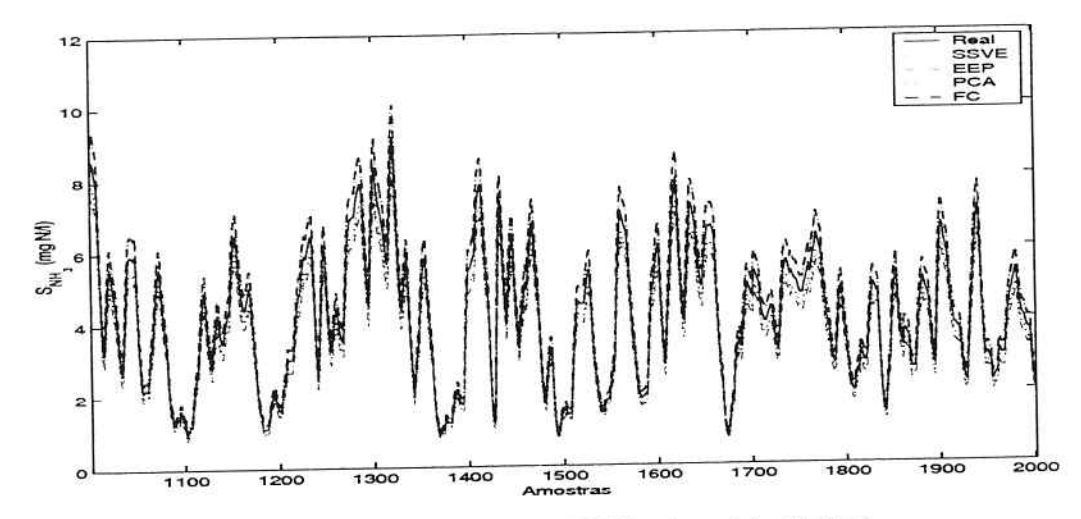


Figura 7: Validação dos modelos NARX polinomiais - Saída  $S_{NH_3}$ 

De um modo geral pode-se observar que os modelos com seleção de variáveis de entrada tiveram um desempenho comparável ao do modelo sem seleção de variáveis de entrada.

#### 12. Conclusões

O estudo de seleção de variáveis de entrada apresentado neste trabalho, teve sua aplicação em uma planta de tratamento de efluentes, um sistema altamente complexo, devido ao fato de incorporar um grande número de processos biológicos e físico-químicos. As ETE's (Estações de Tratamento de Esgotos) são consideradas grandes sistemas não-lineares sujeitas a grandes perturbações no fluxo e na carga, ao mesmo tempo com incertezas na composição do efluente. Portanto, a sua modelagem é complicada.

Foram apresentadoas neste trabalho três técnicas para seleção de variáveis de entrada em identificação de sistemas, sendo duas delas já apresentadas na literatura, a saber, efetividade de entrada e projeção e análise de componentes principais (PCA), sendo esta segunda, bastante divulgada. A terceira técnica, a qual emprega funções de correlação, é proposta neste trabalho. A idéia inicial de se trabalhar com funções de correlação partiu de (Aguirre, 2000), que menciona a seleção de variáveis de entrada usando funções de correlação, mas de uma forma pouca detalhada. Neste aspecto, este trabalho procurou estabelecer alguns requisitos para selecionar as variáveis de entrada, com base em funções de correlação. A proposta foi implementada e então aplicada a uma planta de tratamento de efluentes, a qual possui um conjunto de 15 variáveis candidatas a entrada.

Essas 15 variáveis foram usadas na análise para compor modelos MISO, para a concentração de amônia  $(S_{NH_3})$ .

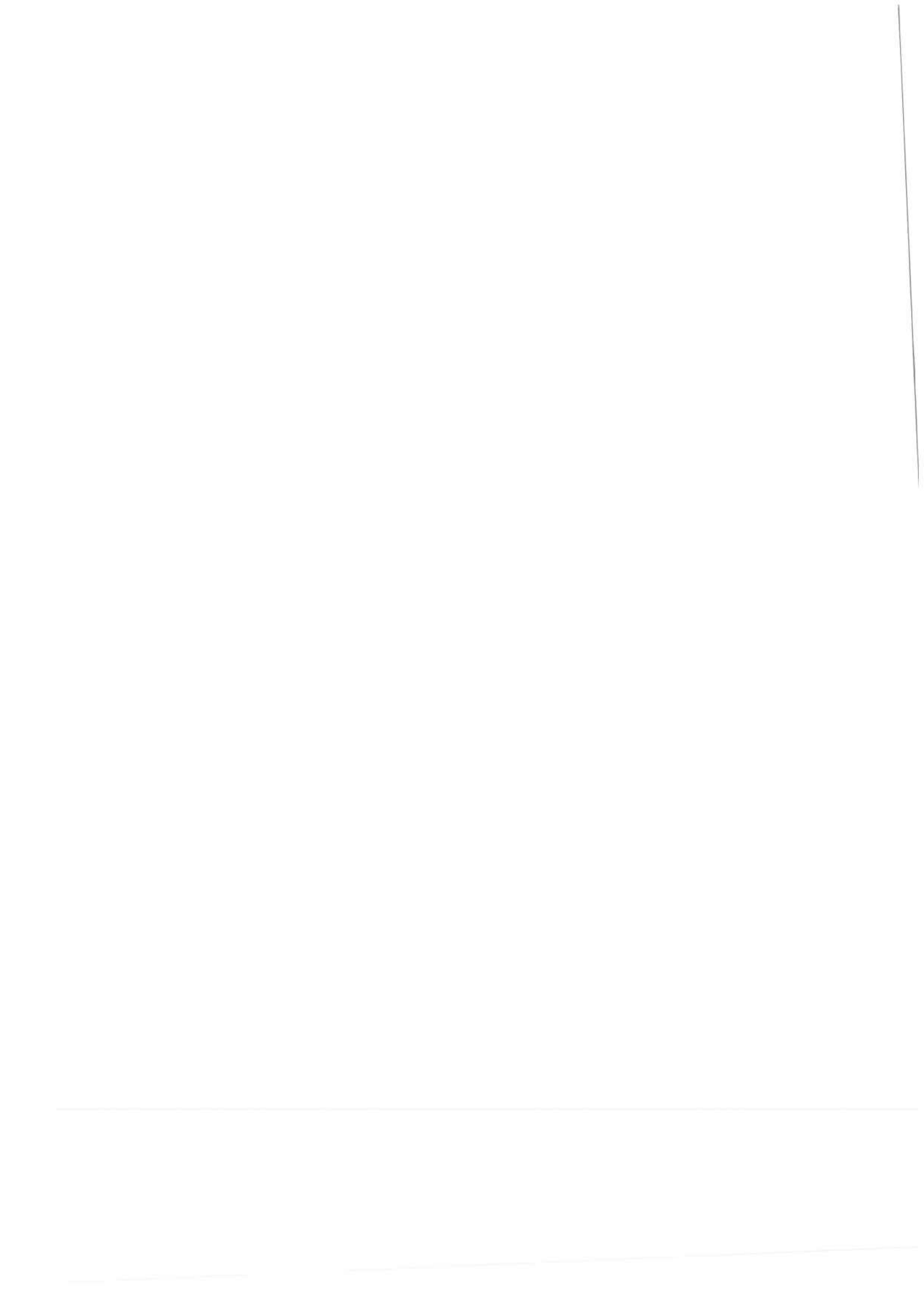
A identificação dos modelos foi realizada usando-se uma técnica, convencional, através de modelos NARX polinomiais.

Os modelos com seleção de variáveis de entrada foi comparado com o modelo sem seleção de variáveis de entrada. Nesta análise, foi verificado que o modelo com seleção de variáveis de entrada pelo critério de efetividade de entrada e projeção (EEP) foi o que apresentou pior resultado quando comparado com os modelos com variáveis de entrada selecionadas pela análise de componentes principais (PCA) e funções de correlação (FC). Para os modelos com seleção de variáveis de entrada atráves de análise de componentes principais (PCA) e funções de correlação (FC), os resultados de validação foram semelhantes. Por outro lado, o modelo com seleção de variáveis de entrada selecionadas pela análise de componentes principais (PCA) apresentou um número maior de variáveis de entrada selecionadas em relação ao modelo com seleção de variáveis de entrada através de funções de correlação. Desta forma, pôde-se verificar que o modelo obtido através de variáveis selecionadas pelo método de funções de correlação incorporou menos termos em relação ao modelo obtido com a seleção de variáveis de entrada pela análise de componentes principais (PCA). Portanto, pode-se concluir que a ferramenta proposta de seleção de variáveis de entrada baseada em funções de correlação foi considerada satisfatória na identificação de um processo altamente complexo e não linear. A técnica proposta é relativamente simples de ser usada se comparada com outras existentes na literatura, o que facilita seu emprego por eventuais usuários.

#### Referências

- Aguirre, L. A. (2000). Introdução à Identificação de Sistemas. Belo Horizonte: Editora UFMG.
- Billings, S. A. and S. Chen (1989). Extended Model Set, Global and Threshold Model Identification of Severely Non-Liner Systems. *International Journal of Control* **50**(5), 1897–1923.
- Billings, S. A., M. J. Korenberg and S. Chen (1988). Identification of Non-Linear Output-Affine Systems Using an Orthogonal Least-Squares Algorithm. *International Journal of Systems* Science 49, 1559–1568.
- Billings, S. A., S. Chen and M. J. Korenberg (1989). Identification of MIMO Non-Linear Systems Using a Forward-Regression Orthogonal Estimador. *International Journal of Control* 49(6), 2157–2189.
- Cao, Y. and D. Biss (1996). New Screening Techiques for Choosing Manipulated Variables. in Proceedings of IFAC'96, 13th World Congress M, 103-108.
- Cao, Y., D. Rossiter and D. Owens (1997). Screening criteria for input and output selection. http://www.cds.caltech.edu/conferences/related/ECC97/ proceeds/751\_1000/ECC773.PDF.
- Chen, S. and S. A. Billings (1989). Representation of Nonlinear System: The NARMAX Model. International Journal of Control 49, 1013–1032.
- Chen, S., S. A. Billings and W. Luo (1989). Orthogonal Least Squares Methods and Their Applications to Non-Linear System Identification. *International Journal of Control* 50(5), 1873–1896.
- Dunteman, G. H. (1989). Principal Components Analysis. Sage Publications, Inc.
- Jerônimo, R. A. (1998). Identificação Não-Linear de um Processo de Neutralização de pH Multivariável Utilizando Modelos Polinomiais. Dissertação de Mestrado. Escola Politécnica da Universidade de São Paulo, São Paulo, SP, Brasil.
- Korenberg, M. J., S. A. Billings, Y. P. Liu and P. J. McIlroy (1988). Orthogonal Parameter Estimation Algorithm for Non-Linear Stochastic Systems. *International Journal of Control* 48(1), 193–210.
- Leontaritis, I. J. and S. A. Billings (1985). Input-Output Parametric Models for Nonlinear System. International Journal of Control 41, 303-344.
- Pröll, T. (1993). Model Predictive Control Based on Nonlinear Autoregressive and Neural Network Models. Ph.D. Thesis. Colorado State University.
- Pröll, T. and M. N. Karim (1994). Model Predictive ph Control Using Real-Time NARX Approach.

  AIChE Journal.
- Sotomayor, O. A. Z. (2002). Modelagem, Identificação e Controle de Sistemas de Tratamento de Lodo Ativado com Remoção de Nitrogênio. Tese de Doutorado. Escola Politécnica da Universidade de São Paulo, São Paulo, SP, Brasil.
- Sotomayor, O. A. Z., S. W. Park and Claudio Garcia (2001). A Simulation Benchmark to Evaluate the Performance of Advanced Control Techniques in Biological Wastewater Treatment Plants. Brazilian Journal of Chemical Engineering 18(1), 81-101.
- Sotomayor, O. A. Z., S. W. Park and Garcia C. (1999). Um Modelo de Referência para o Controle do Processo de Lodo Ativado. Boletim Técnico da Escola Politécnica da USP, Departmento de Engenharia Eletrônica, BT/PEE/9918, São Paulo, SP, Brasil.



# BOLETINS TÉCNICOS - TEXTOS PUBLICADOS

- BT/PTC/9901 Avaliação de Ergoespirômetros Segundo a Norma NBR IEC 601-1- MARIA RUTH C. R. LEITE, JOSÉ CARLOS TEIXEIRA DE B. MORAES
- BT/PTC/9902 Sistemas de Criptofonia de Voz com Mapas Caóticos e Redes Neurais Artificiais MIGUEL ANTONIO FERNANDES SOLER, EUVALDO FERREIRA CABRAL JR.
- BT/PTC/9903 Regulação Sincronizada de Distúrbios Senodais VAIDYA INÉS CARRILLO SEGURA, PAULO SÉRGIO PEREIRA DA SILVA
- BT/PTC/9904 Desenvolvimento e Implementação de Algoritmo Computacional para Garantir um Determinado Nível de Letalidade Acumulada para Microorganismos Presentes em Alimentos Industrializados RUBENS
- BT/PTC/9905 Modelo Operacional de Gestão de Qualidade em Laboratórios de Ensaio e Calibração de Equipamentos Eletromédicos MANUEL ANTONIO TAPIA LÓPEZ, JOSÉ CARLOS TEIXEIRA DE BARROS MORAES
- BT/PTC/9906 Extração de Componentes Principais de Sinais Cerebrais Usando Karhunen Loève Neural Network EDUARDO AKIRA KINTO, EUVALDO F. CABRAL JR.
- BT/PTC/9907 Observador Pseudo-Derivativo de Kalman Numa Coluna de Destilação Binária JOSÉ HERNANDEZ LÓPEZ, JOSÉ JAIME DA CRUZ, CLAUDIO GARCIA
- BT/PTC/9908 Reconhecimento Automático do Locutor com Coeficientes Mel-Cepstrais e Redes Neurais Artificiais ANDRÉ BORDIN MAGNI, EUVALDO F. CABRAL JÚNIOR
- BT/PTC/9909 Análise de Estabilidade e Síntese de Sistemas Híbridos DIEGO COLÓN, FELIPE MIGUEL PAIT
- BT/PTC/0001 Alguns Aspectos de Visão Multiescalas e Multiresolução JOÃO E. KOGLER JR., MARCIO RILLO
- BT/PTC/0002 Placa de Sinalização E1: Sinalização de Linha R2 Digital Sinalização entre Registradores MFC- PHILLIP MARK SEYMOUR BURT, FERNANDA CARDOSO DA SILVA
- BT/PTC/0003 Estudo da Técnica de Comunicação FO-CDMA em Redes de Fibra Óptica de Alta Velocidade TULIPA PERSO, JOSÉ ROBERTO DE A. AMAZONAS
- BT/PTC/0004 Avaliação de Modelos Matemáticos para Motoneurônios DANIEL GUSTAVO GOROSO, ANDRÉ FÁBIO KOHN
- BT/PTC/0005 Extração e Avaliação de Atributos do Eletrocardiograma para Classificação de Batimentos Cardíacos ELDER VIEIRA COSTA, JOSÉ CARLOS T. DE BARROS MORAES
- BT/PTC/0006 Uma Técnica de Imposição de Zeros para Auxílio em Projeto de Sistemas de Controle PAULO SÉRGIO PIERRI, ROBERTO MOURA SALES
- BT/PTC/0007 A Connected Multireticulated Diagram Viewer PAULO EDUARDO PILON, EUVALDO F. CABRAL JÚNIOR
- BT/PTC/0008 Some Geometric Properties of the Dynamic Extension Algorithm PAULO SÉRGIO PEREIRA DA SILVA
- BT/PTC/0009 Comparison of Alternatives for Capacity Increase in Multiple-Rate Dual-Class DS/CDMA Systems CYRO SACARANO HESI, PAUL ETIENNE JESZENSKY
- BT/PTC/0010 Reconhecimento Automático de Ações Faciais usando FACS e Redes Neurais Artificiais ALEXANDRE TORNICE, EUVALDO F. CABRAL JÚNIOR
- BT/PTC/0011 Estudo de Caso: Tornando um Projeto Testável Utilizando Ferramentas Synopsys REINALDO SILVEIRA, JOSÉ ROBERTO A. AMAZONAS
- BT/PTC/0012 Modelos Probabilísticos para Rastreamento em Carteiras de Investimento HUGO G. V. DE ASSUNÇÃO, OSWALDO L. V. COSTA
- BT/PTC/0013 Influência de um Controle Imperfeito de Potência e Monitoramento da Atividade Vocal na Capacidade de Sistemas DS/CDMA MÁRCIO WAGNER DUARTE ROLIM, PAUL JEAN ETIENNE JESZENSKY
- BT/PTC/0014 Canceladores de Interferência Sucessivo e Paralelo para DS/CDMA TAUFIK ABRÃO, PAUL JEAN E. JESZENSKY
- BT/PTC/0015 Transmissão de Serviços de Multimídia num Sistema Móvel Celular CDMA de Banda Larga EDUARDO MEIRELLES MASSAUD, PAUL JEAN ETIENNE JESZENSKY
- BT/PTC/0016 Disseminação do HIV em uma População Homossexual Heterogênea MARCOS CASADO CASTÑO, JOSÉ ROBERTO CASTILHO PIQUEIRA
- BT/PTC/0017 Implementação e Avaliação em Laboratório de um Monitor Cardíaco Portátil para Três Derivações RAISA FERNÁNDEZ NUNEZ, JOSE CARLOS TEIXEIRA DE BAROS MORAES
- BT/PTC/0018 Projeto de Filtros Recursivos de N-ésima Banda IRINEU ANTUNES JÚNIOR, MAX GERKEN
- BT/PTC/0019 Relative Flatness and Flatness of Implicit Systems PAULO SÉRGIO PEREIRA DA SILVA, CARLOS CORRÊA FILHO
- BT/PTC/0020 Estimativa de Fluxo Sangüíneo nas Artérias Coronárias Usando Imagens de Cineangiocardiografia ANA CRISTINA DOS SANTOS, SÉRGIO SHIGUEMI FURUIE
- BT/PTC/0021 Modelos Populacionais para AIDS e Análise do Equilibrio sem Epidemia ELIZABETH FERREIRA SANTOS, JOSÉ ROBERTO CASTILHO PIOLIFIRA

- BT/PTC/0101 Model-Based Soft-Sensor Design for On-Line Estimation of the Biological Activity in Activated Sludge Wastewater Treatment Plants OSCAR A. Z. SOTOMAYOR, SONG WON PARK, CLAUDIO GARCIA
- BT/PTC/0102 Reconhecimento Automático do Locutor Utilizando a Rede Neural Artificial Field Distributed Memory FDM MARCELO BLANCO, EUVALDO F. CABRAL JR.
- BT/PTC/0103 Algoritmos de Filtragem e Previsão em Modelos de Volatilidade FERNANDO LOVISOTTO, OSWALDO L. V. COSTA
- BT/PTC/0104 Método de Diferenças Temporais Aplicado às Equações de Riccati Acopladas entre Si OSWALDO L. V. COSTA, JULIO C. C. AYA
- BT/PTC/0105 Método de Diferenças Finitas e de Monte Carlo em Derivativos ANDRÉ CURY MAIALI, OSWALDO LUIZ DO VALLE COSTA
- BT/PTC/0106 Resolução de um Problema Inverso de Eletromagnetismo por Meio de Redes Neurais Artificiais ARNALDO MEGRICH, JORGE MIECZYSLAW JANISZEWSKI
- BT/PTC/0107 Projeto de Controlador de Temperatura para Perfusão Peritoneal com Hipertermia e Quimioterapia GIANCARLO ANTONIO BERZACOLA, FUAD KASSAB JÚNIOR
- BT/PTC/0108 0 Papel de Diferentes Grupos Populacionais na Transmissão Sexual do HIV ELIZABETH FERREIRA SANTOS, JOSÉ ROBERTO CASTILHO PIQUEIRA
- BT/PTC/0109 Terapias Ótimas Anti-HIV para a Redução da Transmissão Vertical RENATO BEVILACQUA, LUIZ HENRIQUE ALVES MONTEIRO
- BT/PTC/0110 Brain Signal Analysis Using Non-Linear ARIMA Models ERNANE J. X. COSTA, EUVALDO FERREIRA CABRAL JR.
- BT/PTC/0111 Cancelamento de Eco Acústico Estéreo: Análise de Algoritmos Adaptativos e um novo Método de Redução do Desalinhamento ROBERTO ROSCHEL BELLI, PHILLIP MARK SEYMOUR BURT
- BT/PTC/0112 Natural Gas Flow Computer With Open Architecture Using Intelligent Instrumentation And Field Bus OSMEL REYES VAILLANT, CLAUDIO GARCIA
- BT/PTC/0113 Aplicação de Métodos de Inteligência Artificial em Inteligência de Negócios –ROGÉRIO GARCIA DUTRA, EUVALDO FERREIRA CABRAL JR.
- BT/PTC/0114 Detectores Multiusuário para DS/CDMA Canceladores de Interferência –TAUFIK ABRÃO, PAUL JEAN E. JESZENSKY
- BT/PTC/0115 Reconhecimento Automático do Locutor Usando Pré-Processamento em Sons Nasalizados com Diversos Classificadores Neurais ROBERTO AMILTON BERNARDES SÓRIA, EUVALDO FERREIRA CABRAL JR.
- BT/PTC/0116 Aplicando a Técnica de Times Assincronos na Otimização de Problemas de Empacotamento Unidimensional REINALDO DE BERNARDI, TSEN CHUNG KANG
- BT/PTC/0117 A Simplified Implementation of the Theory of Emotions for Emotrots RODRIGO DE TOLEDO CAROPRESO, RODRIGO DIAS MORGADO, EUVALDO FERREIRA CABRAL JR.
- BT/PTC/0118 Modelos Dinâmicos Aplicados à Propagação de Virus em Redes de Computadores BETYNA FERNÂNDEZ NAVARRO, JOSÉ ROBERTO CASTILHO PIQUEIRA
- BT/PTC/0119 Técnicas para Melhorar o Desempenho do Método dos Análogos Modificado em Predição de Séries Temporais Caóticas – LUIZ MONZÓN BENITEZ, ADEMAR FERREIRA
- BT/PTC/0120 Um Modelo Microscópico para a Simulação de uma Intersecção Semaforizada EDUARDO ULI NELLAR, ADEMAR FERREIRA
- BT/PTC/0121 Subspace Identification Methods Applied to Activated Sludge Processes: A Performance Comparison Study OSCAR A. Z. SOTOMAYOR, SONG WON PARK, CLAUDIO GARCIA
- BT/PTC/0122 Controle Avançado de Temperatura para Perfusão Peritoneal com Hipertermia e Quimioterapia ARNALDO LAGANARO JUNIOR, FUAD KASSAB JUNIOR
- BT/PTC/0123 Análise de Sinais Biológicos Utilizando Wavelets FRANCO BELTRAME RUNZA, FUAD KASSAB JUNIOR
- BT/PTC/0123 Certificação de Estimuladores Neuromusculares no Sistema Brasileiro de Certificação de Equipamentos Médicos EDUARDO RODRIGUES MANDL, JOSÉ CARLOS TEIXEIRA DE BARROS
- BT/PTC/0201 Aplicação de Transformadas Tempo Frequência e de Redes Neurais Artificiais no Processamento Digital de Sinais Cerebrais MARCOS TEIXEIRA DE FREITAS FILHO, EUVALDO FERREIRA CABRAL JR.
- BT/PTC/0202 Aspectos de Identificação para Controle de Sistemas NARX usando Redes Neurais RBF RITA DE CÁSSIA PAVANI LAMAS, ADEMAR FERREIRA
- BT/PTC/0203 A Equação de Riccati Estacionária na Estimação Linear em Sistemas Lineares Discretos no Tempo com Saltos Markovianos SUSSET GUERRA JIMENEZ, OSWALDO LUIZ DO VALLE COSTA
- BT/PTC/0204 Comparação entre Algoritmos de Identificação Não-Assistida de Canais de Comunicação Baseados em Estatisticas de Segunda Ordem CLÁUDIO JOSÉ BORDIN JUNIOR, LUIZ ANTONIO BACCALA
- BT/PTC/0205 Desenvolvimento de um Simulador de uma Sub-Rede da Medula Espinhal ROGÉRIO RODRIGUES LIMA CISI, ANDRÉ FABIO KOHN
- BT/PTC/0206 Novos Modelos de Motoneurônios de Vertebrados MARCOS FRAGA VIEIRA, ANDRÉ FABIO KOHN

- BT/PTC/0207 Modelagem Auto-Regressiva e Memórias Associativas na Classificação de Sinais Eletromiográficos de Agulhas IARA KAZUYO IKE, CINTHIA ITIKI
- BT/PTC/0208 Análise da Classificação e da Sintese de Expressões Faciais com Redes Neurais Artificiais OLIMPO MURILO CAPELI, EUVALDO FERREIRA CABRAL JUNIOR
- BT/PTC/0209 Guiagem Automática de um Veículo Autônomo Baseada em Sistema de Visão NICOLÁS CÉSAR LAVINIA, JOSÉ JAIME DA CRUZ
- BT/PTC/0210 Some Geometric Properties of Differential-Algebraic Equations PAULO SÉRGIO PEREIRA DA SILVA, CARLOS JUTTI WATANABE
- BT/PTC/0211 Modelos de Média-Variância de Período Simples e Multi-Períodos na Análise de Carteiras de Investimento MARGARETH AP. DE SOUZA BUENO, OSWALDO LUIZ DO VALLE COSTA
- BT/PTC/0212 Avaliação da Utilização de Centrais Públicas de Informações de Crédito num Modelo de Previsão para Risco de Crédito GUILHERME GONZALEZ C. PARENTE, OSWALDO LUIZ DO VALLE COSTA
- BT/PTC/0213 Propagação de Erros de Freqüência em Redes Mestre Escravo em Estrela Dupla SANTOS ANDRÉS CASTILHO VARGAS, JOSÉ ROBERTO CASTILHO PIQUEIRA
- BT/PTC/0214 Avaliação Prática de um Algoritmo de Alta Resolução na Determinação de Freqüências de Ressonância em Estruturas de Grande Porte LUIZ ANTONIO BARBOSA COELHO, LUIZ ANTONIO BACCALÁ
- BT/PTC/0301 Finite Horizon Quadratic Optimal Control Problem of Markovian Jump Linear Systems With Partial Information ESTEBAN FERNANDEZ TUESTA, OSWALDO LUIZ DO VALLE COSTA
- BT/PTC/0302 A Framework for Admission Control Based on Aggregate Traffic Measurements and Network Characterization ALEXANDRE BARBOSA DE LIMA, JOSE ROBERTO DE ALMEIDA AMAZONAS
- BT/PTC/0303 Identificação Nebulosa da Concentração de Oxigênio Dissolvido do Tanque de Aeração de uma Estação de Tratamento de Esgotos por Lodos Ativados ALEXANDRE MAGNO PARENTE DA ROCHA, CLAUDIO GARCIA
- BT/PTC/0304 Cálculo de Balanço de Potência em Sistemas DWDM com Spans Variáveis e Amplificadores com Curva de Ganho não Plana WALMARA DE PAULA HERMAN, JOSÉ ROBERTO DE ALMEIDA AMAZONAS
- BT/PTC/0305 Robust Model Tracking and 2-D Control Design FABRIZIO LEONARDI, JOSÉ JAIME DA CRUZ
- BT/PTC/0306 Classificação de Ações do Mercado Financeiro Utilizando Técnicas Fuzzy RENATO APARECIDO AGUIAR, ROBERTO MOURA SALES
- BT/PTC/0307 Esquemas de Multitaxa para Sistemas CDMA de Banda Larga ANDRÉ FAGUNDES DA ROCHA, PAUL JEAN ETIENNE JESZENSKY
- BT/PTC/0308 A Time-Invariant Flat System Always Admits a Time-Invariant Flat Output PAULO SERGIO PEREIRA DA SILVA, PIERRE ROUCHON
- BT/PTC/0309 Otimização Robusta de Carteiras Utilizando Desigualdades Matriciais Lineares RODRIGO BARROS NABHOLZ, OSWALDO LUIZ DO VALLE COSTA
- BT/PTC/0310 Desenvolvimento de um Controlador Automático para Sistemas de Guiagem de Tiras de Aço em Linhas de Processos Siderúrgicos AMAURI DIAS DE CARVALHO, JOSÉ JAIME DA CRUZ
- BT/PTC/0311 Sincronismo em Redes Mestre-Escravo de Via Única: Estrela Simples, Cadeia Simples e Mista CARLOS NEHEMY MARMO, JOSÉ ROBERTO CASTILHO PIQUEIRA
- BT/PTC/0312 Aprendizado por Reforço Aplicado a Sistemas Neuro-Difusos para o Controle de Sinais de Trânsito LEONCIO ZÁRATE GAMARRA, ADEMAR FERREIRA
- BT/PTC/0313 Métodos de Decomposição em Problemas de Estoque e Roteirização PATRIÍCIA PRADO BELFIORE, OSVALDO LUIZ DO VALLE COSTA
- BT/PTC/0314 Reconhecimento do Sinal Mioelétrico Aplicado à Engenharia de Reabilitação LEONARDO PINHEIRO DA SILVA, FUAD KASSAB JR.
- BT/PTC/0401 Comparação Entre Receptores Espaço-Temporais Semicegos de Formatação de Feixe e Diversidade para SistemaS W-CDMA IVAN ROBERTO SANTANA CASELLA, PAUL JEAN ETIENNE JESZENSKY
- BT/PTC/0402 Mapas Acoplado e Aplicações: Processamento de Imagens, Auto-Organização e Processamento Símbólico ROGÉRIO DE OLIVEIRA, LUIZ HENRIQUE ALVES MONTEIRO
- BT/PTC/0403 Modelagem de FCC Usando Métodos de Identificação por Predição de Erro e por Sub-Espaços SANTOS DEMETRIO MIRANDA BORJAS, CLAUDIO GARCIA
- BT/PTC/0404 Implementação em Hardware / Firmware de um Sensor Virtual Utilizando Algoritmos de Identificação Fuzzy CASSIO DE CARVALHO BERNI, CLAUDIO GARCIA

